Zeitschrift: Schweizerische numismatische Rundschau = Revue suisse de numismatique = Rivista svizzera di numismatica

Herausgeber: Schweizerische Numismatische Gesellschaft

Band: 45 (1966)

Artikel: Alexandrinische Münzen im bernischen historischen Museum

Autor: Kapossy, Balázs

DOI: https://doi.org/10.5169/seals-173810

Nutzungsbedingungen

Die ETH-Bibliothek ist die Anbieterin der digitalisierten Zeitschriften auf E-Periodica. Sie besitzt keine Urheberrechte an den Zeitschriften und ist nicht verantwortlich für deren Inhalte. Die Rechte liegen in der Regel bei den Herausgebern beziehungsweise den externen Rechteinhabern. Das Veröffentlichen von Bildern in Print- und Online-Publikationen sowie auf Social Media-Kanälen oder Webseiten ist nur mit vorheriger Genehmigung der Rechteinhaber erlaubt. Mehr erfahren

Conditions d'utilisation

L'ETH Library est le fournisseur des revues numérisées. Elle ne détient aucun droit d'auteur sur les revues et n'est pas responsable de leur contenu. En règle générale, les droits sont détenus par les éditeurs ou les détenteurs de droits externes. La reproduction d'images dans des publications imprimées ou en ligne ainsi que sur des canaux de médias sociaux ou des sites web n'est autorisée qu'avec l'accord préalable des détenteurs des droits. En savoir plus

Terms of use

The ETH Library is the provider of the digitised journals. It does not own any copyrights to the journals and is not responsible for their content. The rights usually lie with the publishers or the external rights holders. Publishing images in print and online publications, as well as on social media channels or websites, is only permitted with the prior consent of the rights holders. Find out more

Download PDF: 18.11.2025

ETH-Bibliothek Zürich, E-Periodica, https://www.e-periodica.ch

BALÁZS KAPOSSY

ALEXANDRINISCHE MÜNZEN IM BERNISCHEN HISTORISCHEN MUSEUM

Einleitung

Günstige Umstände ermöglichten dem Münzkabinett 1964 den Erwerb von 177 alexandrinischen Münzen aus der Sammlung Landert, was etwa der Hälfte des früheren Bestandes entsprach. Es war nun naheliegend, die gesamte Berner Sammlung, in einem Katalog der Forschung zugänglich zu machen [1]. Eine mit dem großen Werk *Roman Imperial Coinage* vergleichbare Monographie alexandrinischer Münzen gibt es bis heute nicht. Trotz der großen Kataloge von R. S. Poole (British Museum), Feuardent, Dattari, Milne und Curtis sowie der wichtigen Arbeit von Vogt findet man fast in jedem Verzeichnis alexandrinischer Münzen einige Inedita. Nicht anders ist es auch in der vorliegenden Arbeit.

Als alexandrinische Münzen bezeichnet man die Emissionen der römischen Kaiserzeit in und für Ägypten [2]. Ihre Prägung in Bronze beginnt unter Augustus im Anschluß an die letzten Ptolemäermünzen. Unter Tiberius kommen bereits die Billon-Tetradrachmen auf, die bis zur diocletianischen Reform von 296 n. Chr. beibehalten werden [3].

Diese Münzen gehören zur bunten Reihe der provinziellen Prägungen, die neben der Reichsprägung existierten. Sie waren für den lokalen Geldumlauf bestimmt und daneben auch als Kreditwährung gedacht. Obwohl Alexandrien eine der wichtigsten Handelsmetropolen der antiken Welt war, spielten die einheimischen Münzen im Handel außerhalb der Provinz Ägypten überhaupt keine Rolle [4]. Die wenigen Alexandriner, die etwa in der Schweiz gefunden wurden, sind offensichtlich zufällige und vereinzelte Importe, die sich in unsere Breiten verirrt haben [5].

Schon die Tatsache, daß die Münzen Alexandriens alle andern provinziellen Prägungen überlebten, spiegelt die Sonderstellung wider, die Ägypten innerhalb des Imperiums besaß. Nach dem Sieg über Antonius und Kleopatra schloß Augustus Ägypten nicht den anderen Provinzen an, sondern betrachtete es als seine Privatdomäne. Kein Senator durfte ohne kaiserliche Bewilligung das Land betreten, das durch seine enorme wirtschaftliche Bedeutung als Kornkammer des Reiches und Zentrum des Welthandels ein gefährliches Sprungbrett zur Macht werden konnte. In der Tat gelangte Vespasian von Ägypten aus auf den Thron.

Für die Erforschung der Geschichte des Nillandes verspricht die historische Auswertung des Materials schon auf den ersten Blick reiche Erkenntnisse von hohem Quellenwert. Die Prägungen sind aufs Jahr genau datiert und erfolgen in ungewöhn-

lich großer Fülle: Für das Jahr 126/127 vermerkt Vogt 20 Typen in Billon und 50 in Bronze, für 134/135 deren 5 beziehungsweise 58, für 141/142 noch 8 Typen in Billon, aber volle 64 in Bronze!

Das Datum richtet sich nach dem ägyptischen Kalender, das Jahr wird nach dem jeweiligen Kaiser gezählt [6]. Teils ist es in griechischen Zahlen angegeben, teils ausgeschrieben, und zwar besonders im Falle von 9 (= Θ) aus Aberglauben, da Θ als Zeichen für Thanatos (= Tod) verstanden werden konnte [7]. – Die Zeitspanne zwischen dem Tag der Machtergreifung des neuen Herrschers und dem Beginn des neuen Kalenderjahres (29. August) galt als «erstes Regierungsjahr». Daß bei dieser Zählung allerlei merkwürdige Situationen entstanden, liegt auf der Hand. So dauerte das erste Regierungsjahr Vespasians knapp zwei Monate (1. Juli bis 28. August 69), das erste Regierungsjahr des Antoninus Pius nur anderthalb Monate (10. Juli bis 28. August 138). Das Kalenderjahr 237/38 begann als das vierte Regierungsjahr des Maximinus Thrax, setzte sich als das erste Jahr des Gordianus I. und II. sowie des Pupienus und Balbinus fort und endete als erstes Jahr des Gordianus Pius!

Ordnet man nun den außerordentlich mannigfaltigen Typenschatz der Münzen chronologisch, wie es in den neueren Katalogen geschieht, so gewinnt man eine regelrechte Histoire Métallique [8]. Die Münzbilder berichten ausführlich über die verschiedenen Ereignisse, die im entsprechenden Jahr Ägypten oder das Reich, bisweilen beide, betrafen [9]: über kaiserliche Besuche [10], Siege [11], Denkmäler [12], überdurchschnittlich gute Ernten [13] usw.

Religionsgeschichtlich höchst aufschlußreich ist die numismatische Illustration des Siegeszuges der ägyptischen Religion im Imperium [14]. Zu den hohen Olympiern gesellen sich in zunehmendem Maße die Gestalten der einheimischen Gottheiten [15] und sogar der exotischen Mischwesen [16], doch neben ihnen auch die Gestalten der spezifisch römischen Sage. Ägyptens Religion gibt und empfängt, doch verliert sie mit ihrem Sieg im Reich an Durchschlagskraft. Die Münzen zeigen mit aller Deutlichkeit, wie ihr heterogenes Pantheon unter Antoninus Pius zu einem Kuriositätenkabinett herabsinkt [17].

Die Stellung des Kaisers und der kaiserlichen Familie ist in Ägypten eine andere als in Rom oder sonst im Imperium. Der Herrscher ist hier der Nachfolger der göttlichen Pharaonen: nur so läßt sich etwa die «unrömische» Erscheinung Hadrians als Triumphator, aber in Opfertracht mit bedecktem Haupt auf einer Drachme erklären [18]. Auch wurde das Ehrenmünzrecht an die Angehörigen des Herrscherhauses hier freigebiger erteilt als in Rom. Die Münzen vermitteln uns Porträts auch jener Personen, die dieses Recht in der Reichsprägung nicht besaßen, wie der Messalina [19], des Antinous [20], der Titiana und des Pertinax Caesar [21].

Doch nicht nur die Inschrift und das Bild der Münzen, auch ihr Material ist aufschlußreich: die fortschreitende Verringerung des Silbergehaltes der Tetradrachmen kündet von der zunehmenden wirtschaftlichen Misere, von deren Ursachen, den Kriegen und der schlechten Verwaltung, und ebenso von deren Folgen, dem ökonomischen Niedergang und der weitgehenden Verarmung [22].

In dieser kurzen Einleitung konnte nur auf einige der wichtigsten Aspekte der Münzprägung Alexandriens hingewiesen werden. Einzelne Probleme ließen sich in dem kleinen Katalog naturgemäß nur kurz umreißen und nicht ausführlich behandeln. Glücklicherweise kann der Leser auf die systematische Auswertung der alexandrinischen Prägungen hingewiesen werden, wie sie insbesondere bei J. Vogt und J. G. Milne zu finden ist, welche die Bedeutung dieser Münzen als reiche historische Dokumente ersten Ranges aufzeigen.

ANMERKUNGEN

1 Der Katalog entspricht dem Stand zur Zeit des Manuskriptabschlusses am 1. August 1966. Neuerwerbungen 1966: Inv. Nr. 3086–3108.

2 Zur Geschichte der alexandrinischen Münzprägung s. die Einleitungen der oben zitierten Kataloge (Abkürzungsverzeichnis in *Bemerkungen zum Katalog,* unten S. 54).

3 Über die Reform des Diocletian, der die ganze Münzprägung im Reich vereinheitlichte, zuletzt *J. Schwartz,* SM 13/14, 1964, Heft 51/54, 98–102.

4 *M. Rostovtzeff,* Gesellschaft und Wirtschaft im röm. Kaiserreich. Zum Wirtschaftsleben in Ägypten s. Bd. II 381 (Register). *A. Ch. Johnson* in Tenney Frank, An Economic Survey of Ancient Rome, Bd. II: Roman Egypt (1936), 424–444 (Egyptian currency), 445–450 (Banking), 481 ff. (Taxation). *Ders.,* Egypt and the Roman Empire (1951). 1–3 (Kreditwährungen im Altertum), 3 (Wirtschaftl. Lage unter den Ptolemäern), 4 ff. (Wirtschaftl. Lage in der Kaiserzeit, Abriegelung), 19 ff. (Handel, Wechsel, Geldgeschäfte). *H. Jucker,* Aegyptiaca, Jb. 61/62,291–292, dazu *W. Schwabacher,* SM 13/14, 1964, Heft 55, 142. – Zum Begriff der antiken Währung s. auch H. A. Cahn, Die Münzen der sizilischen Stadt Naxos, Basel (1944), 8–9.

5 *Amsoldingen:* Probus, Nr. 333, Inv. 2567; Diocletian, Nr. 385, Inv. 2585. *Interlaken:* Antoninus Pius, Nr. 137, Inv. 5980. *Worb:* Maximianus Herculius, Nr. 403, Inv. 2597. Zu Münzfunden generell *S. P. Noe,* A Bibliography of Greek Coin Hoards, NNM 78 (1937). *T. Hackens,* Bull. Corresp. Hell. 89, 1965 II, 383–389 (Münzfund im Münzhandel von Athen).

6 Einzig auf Münzen des Aelius Caesar (hier Nr. 114, Inv. 2823, Taf. 3) erfolgt die Jahreszählung in römischer Art nach Ämtern.

7 Z. B. Diocletian, Nr. 388, Inv. 2800, Taf. 7.

8 So bei *Vogt* und *Milne.* Dagegen ist das Material in *BMC, Feuardent/Demetrio, Dattari* und *Curtis* nach Motiven geordnet, sehr bequem zur Münzbestimmung, höchst ungeeignet zur Auswertung. – Grundlegend für die wissenschaftliche Auswertung der jährlichen Prägungen *Vogt.* Zu den folgenden Anmerkungen vergleiche die Einleitungen bei *Vogt* und *Milne.*

9 *Vogt* 10 und passim.

10 Z. B. Nero, Nr. 36, Inv. 2456, Taf. 1 (Schiffsreise nach Ägypten). Hadrian, Nr. 89, Inv. 2610, Taf. 2; Nr. 92, Inv. 2819 und Nr. 93, Inv. 2924, Taf. 3 (Ankunft und Empfang).

11 Z. B. Traian, 3088, Taf. 2.

12 Z. B. Antoninus Pius, 2823, Taf. 3.

13 Z. B. Hadrian, Nr. 80, Inv. 2926, Taf. 2; Nilus. Iς = 16 Fuß Höhe der Nilüberschwemmung.

14 Vogt 1, 7, 10–11 und passim.

15 Vgl. Prägungen des Nero, S. 58; abgebildet Apollon, Nr. 27, Inv. 2790, Taf. 1.

16 Z. B. Hermanubis: Traian, Nr. 64, Inv. 2474, Taf. 2. Ptah: Hadrian, Nr. 76, Inv. 2480, Taf. 2. Sarapis: Hadrian, Nr. 70, Inv. 2919, Taf. 2, u. a. Isis mit Harpokrates: Hadrian, Nr. 83, Inv. 3091, Taf. 2

[17] *Vogt* 120 ff. In diesem Sinne s. auch Hadrian, Nr. 96, Inv. 3092, Taf. 3: pantheistischer Zeus.

[18] Hadrian, Nr. 92, Inv. 2819, Taf. 3; dazu ausführlich *H. Jucker,* Aegyptiaca, Jb. 61/62, 295 ff.

[19] Nr. 8, Inv. 2714. Prägungen der Messalina kommen sonst noch in Korinth, Nicaea, Aegea, Hypaepa, Tralles, Caesarea Capp. und Laodicea ad M. sowie auf Kreta vor.

[20] Nr. 114, Inv. 2820. Zu den Prägungen des Antinoos s. G. Blum, Numismatique d'Antinoos, JIN 13, 1914, 33 ff.

[21] Nicht in der Berner Sammlung.

[22] *M. Rostovtzeff* (oben Anm. 4) Bd. II passim, über Ägypten bes. 334 ff. G. Walser-T. Pekáry, Die Krise des römischen Reichs (1962).

KATALOG

Hinweise

Die Münzen sind nach den Prägeherren und den Prägejahren in der von Milne aufgestellten Reihenfolge aufgeführt. Zuerst ist die Zeit nach Christi Geburt genannt, dann – in Klammern – das auf den Stücken verzeichnete Regierungsjahr des Kaisers. Vor der Beschreibung steht die laufende Nummer und die Inventarnummer des Münzkabinetts, dahinter die Angabe des Metalls, Durchmessers und Gewichtes sowie der Stempelstellung. Die Provenienz wird nur angegeben, wenn das Stück aus einem Funde, aus dem Münzhandel oder der Sammlung Landert stammt. *BMC* und *Milne,* sowie bei den Tetradrachmen auch *Curtis* werden stets zitiert, *Feuardent/Demetrio, Dattari* und *Vogt* nur bei Rarissima. Ein Stern * nach der laufenden Nummer zeigt, daß das Stück auf den Tafeln I bis VII abgebildet ist.

Abkürzungen

BMC	British Museum Catalogue. R. S. Poole, Catalogue of the Coins of Alexandria and the Nomes. London (1892).
Curtis	J. W. Curtis, The Tetradrachms of Roman Egypt. Chicago (1957).
Dattari	Nummi Augg. Alexandrini, Catalogo della collezione G. Dattari. Kairo (1901).
Feuardent/Demetrio	F. Feuardent, Coll. G. di Demetrio, Numismatique, Egypte ancienne II. Paris (1872).
Milne	J. G. Milne, Catalogue of Alexandrian Coins. University of Oxford, Ashmolean Museum (1933).
Vogt	J. Vogt, Die alexandrinischen Münzen. Stuttgart (1924).
Jb.	(mit Angabe des Jahrganges): Jahrbuch des Bernischen Historischen Museums, Zuwachsverzeichnis des Münzkabinetts.
M&M	Münzen & Medaillen AG Basel.
Lk.	Lorbeerkranz.
Stk.	Strahlenkrone.
Bi.	Billon-Tetradrachmon.
Bz.	Bronze, Drachme oder kleinere Nominale, s. Gewicht und Durchmesser.

Augustus

Jahr 9/10 nach Christi Geburt (Regierungsjahr 39)

1 2431 Vs. Kopf n. r. (mit Lk.?)
Rs. L̲ΔΘ im Eichenkranz
Bz. 13,9 mm, 1,88 g ↖
BMC 13 f. Milne –.

Livia

9/10 (39)

2 2432 Vs. Kopf n. r.
Rs. L̲ΔΘ im Eichenkranz
Bz. 24,4 mm, 7,75 g ↗
BMC 30. Milne –.

Tiberius

18/19 (5)

3 2433 Vs. Kopf n. r.
Rs. TIBEPIOY Nilpferd n. r. Oben L̲E
Bz. 20,1 mm, 4,77 g ↖
BMC 56–69. Milne –.

20/21 (7)

4* 2871 Vs. TIBEPIOΣ KAIΣAP ΣEB ‹AΣTOΣ› Kopf des Tiberius n. r., Lk.
Vor dem Hals L Z (?)
Rs. ΘEOΣ ΣEBAΣTOΣ Kopf des Augustus n. r. Stk.
Bi. 23,8 mm, 11,94 g ↑
Aus Privatbesitz Alexandria. BMC 36 ff. Milne 38 ff. Curtis 1. Jb. 61/62. 292, Abb. 1.

Claudius I

41/42 (2)

5* 2872 Vs. TIKΛAYΔI KAIΣ ΣEBA ΓEPMANI AYTOK
Kopf des Claudius n. r. Lk.; vor dem Hals LB.
Rs. ANTΩNIA ΣEBAΣTH Gewandbüste der Antonia n. r.
Bi. 25,5 mm, 12,74 g ↑
Aus dem Bazar von Kairo. BMC 66. Milne 65. Dattari 114. Curtis 8. Jb. 61/62, 292, Abb. 2.

42/43 (3)

6 2434 Vs. ΤΙΚΛΑΥΔΙΚΑΙΣ ΣΕΒΑ ΓΕ[ΡΜΑΝΙΑΥΤΟΚ]‹Ρ›
Kopf mit Lk. n. r., davor |Γ
Rs. ΜΕΣΣΑΛΙ ΝΑ ΚΑΙΣ ΣΕΒΑ[Σ] Messalina als Demeter stehend n. l. mit zwei Figuren in der r. und Ähren in der l. Hand
Bi. 29,5 mm, 10,349 g ↑
BMC 71. Milne 85/86. Curtis 15/16.

7 2435 Vs. Wie 6
Rs. ΜΕΣΣΑΛΙΝΑΚΑΙΣΣΕΒΑ Messalina wie 6
Bi. 25,4 mm, 10,897 g ↑
Auktion Cahn 40 (Febr. 1920), Nr. 159. BMC 71. Milne 85/86. Curtis 15/16.

Messalina

47/48 (8)

8* 2714 Vs. ΜΕΣΣΑΛΙΝΑ ΣΕΒΑΣΤΗ Büste n. r.
Rs. Tyche gelagert n. l. Oben l. [L] H
Bz. 16,615 mm, 32,3 g ↑
BMC –. Milne –. Unicum?

Nero

56/57 (3)

9 2907 Vs. ΝΕΡΚ[ΛΑΥΚΑΙΣ] ΣΕΒΓΕ[ΡΑΥΤΟ] Kopf mit Lk. n. r.
Bi. 23,2 mm, 11,543 g ↖
Rs. ΟΜΟ ΝΟΙΑ Homonoia sitzend n. l. mit Patera. Im Feld l. |Γ
Landert. BMC –. Milne 139. Curtis 129.

57/58 (4)

10 2448 [ΝΕΡΩΚΛΑΥ]ΚΑΙΣΣΕΒΓΕΡΑΥ Büste mit Lk. n. r.
Rs. [ΔΙΚ]ΑΙ ΟΣΥΝΗ Dikaiosyne stehend n. l. Im Feld l. |Δ
Bi. 22,7 mm, 12,52 g ↖
BMC –. Milne 150. Curtis –.

58/59 (5)

11 2908 Vs. ΝΕΡΩΝΚΛΑΥΚΑΙΣ ΣΕΒΑ[ΓΕΡΑΥΤΟ] Büste mit Lk. n. r.
Rs. [ΕΙ] ΡΗ ΝΗ Eirene n. r. mit Kerykeion und Helm. Im Feld r. |Ε
Bi. 24,0 mm, 11,118 g ↖
Landert. BMC 148. Milne 174. Curtis 106.

12 2249 Vs. ΝΕΡΩΝΚΛΑΚΑΙΣΣΕΒΑΓΕΡΑΥΤΟ Büste mit Lk. n. r.
Rs. ΕΙΡΗ ΝΗ Eirene stehend n. r. Im Feld unten r. ⌊E
Bi. 26,2 mm, 13,344 g ↑
BMC 148. Milne 173. Curtis 105.

13 2909 Vs. [ΝΕΡ]ΩΝΚΛΑΥΚΑΙΣ ΣΕΒΑΓ ΑΥΤ[Ο] Büste mit Lk. n. r.
Rs. ΔΗΜΟΣΡΩ ΜΑΙΩΝ Demos n. r. mit Zepter, die L. hält Füllhorn. Im Feld r. ⌊E
Bi. 24,9 mm, 12,024 g ↖
Landert. Vgl. BMC –. Milne 179. Curtis 79.

14 2446 Vs. ΝΕΡΩΚΛΑΥΚΑΙΣ ΣΕΒΑΓΕΡΑΥΤΟ Büste mit Lk. n. r.
Rs. ΔΗ ΜΗ ΤΕΡ Demeter stehend n. l. Im Feld l. ⌊E
Bi. 25,6 mm, 13,109 g ↖
BMC –. Milne 184. Curtis –.

63/64 (10)

15 2438 Vs. [ΝΕΡΩΚΛΑΥΚΑΙΣ] ΣΕ̣Β̣Γ̣Ε̣ΡΑΥ Büste mit Stk. n. r.
Rs. ΠΟΠΠΑΙΑ ΣΕΒΑΣΤΗ Büste der Poppaea n. r. Im Felde r. ⌊I
Bi. 22,6 mm, 12,654 g ↖
BMC 122. Milne 217. Curtis 138.

16 2439 Vs. ΝΕΡΩΚ[ΛΑΥΚΑΙΣ] ΣΕΒΓΕ[ΡΑΥ] Büste mit Stk. n. r.
Rs. ΠΟΠΠΑΙ[Α ΣΕΒΑΣΤΗ] Büste der Poppaea n. r. Im Feld r. ⌊I
Bi. 23,2 mm, 13,065 g ↖
Wie 15, nicht stempelgleich.

17 2606 Vs. ΝΕ̣Ρ̣Ω̣Κ̣Λ̣Α̣Υ̣Κ̣ΑΙΣ ΣΕΒΓΕΡ Büste mit Stk. n. r.
Rs. ΑΥΤΟ ΚΡΑ Büste des Sarapis n. r. Im Feld r. ⌊I
Bi. 26,0 mm, 13,85 g ↑
M&M Liste 60, Nr. 204. BMC 156. Milne 222. Curtis 159.

18* 2440 Vs. ΝΕΡΩΚΛΑΥΚΑΙΣ ΣΕΒΓΕΡΑΥ Büste mit Stk. n. r.
Rs. ΠΟΠΠΑΙΑ ΣΕΒΑΣΤΗ Büste der Poppaea n. r. Im Feld r. ⌊IA
Bi. 26,5 mm, 11,894 g ↑
BMC 124. Milne 223. Curtis 143.

19 2441 Vs. und Rs. wie 18, nicht stempelgleich
Bi. 25,4 mm, 13,474 g ↑

20 2452 Vs. ΝΕΡΩΚΛΑΥΚΑΙΣ ΣΕΒΓΕΡ Büste mit Stk. n. r.
Rs. ΑΥ [ΤΟΚ] ΡΑ Adler (über Blitz?) mit Palmzweig stehend n. l.

Im Feld l. ⌊IA
Bi. 25,3 mm, 13,067 g ↖
BMC 165. Milne 228. Curtis 83.

21 2453 Vs. ΝΕΡΩΚΛΑΥΚΑΙΣ ΣΕΒ[ΓΕΡ] Büste mit Stk. n. r.
Rs. AY TOKPA Adler wie 20. Im Feld l. unten ⌊IA
Bi. 24,5 mm, 12,255 g ↑
Wie 20, nicht stempelgleich.

22 2454 Vs. ΝΕΡΩΚΛΑΥ[ΚΑΙΣ ΣΕΒΓΕΡ] Büste mit Stk. n. r.
Rs. AY TOPKA Adler wie 20. Im Feld l. ⌊⟨IA⟩
Bi. 23,8 mm, 12,61 g ↑
Wie 20, nicht stempelgleich.

23 2910 Vs. ΝΕΡΩ ΚΛΑΥΚ[ΑΙΣ ΣΕΒΓΕΡΑΥ] Kopf mit Lk. n. r.
Rs. AV TOPKA. Adler n. l., im Hintergrund Palme, r. Simpulum.
Im Feld l. ⌊IA
Bi. 24,4 mm, 12,541 g ↑
Landert. BMC 166. Milne 237. Curtis 97.

65/66 (12)

24 2450 Vs. ΝΕΡΩΚΛΑΥΚ[Α]ΙΣ ΣΕΒΓΕΡ Büste mit Stk. und Aegis n. r.
Rs. AYTO KPA Büste der Alexandria mit Elefantenhaut n. r.
Im Felde r. ⌊IB
Bi. 25,8 mm, 11,692 g ↗
BMC 163. Milne 238. Curtis 36.

25* 2451 Vs. ΝΕΡΩΚΛΑΥΚΑΙΣ ΣΕΒΓΕΡ Büste mit Stk. und Aegis n. r.
Rs. AYTO KPA Büste der Alexandria, wie 24. Im Feld r. ⌊IB
Bi. 23,2 mm, 13,115 g ↑
Wie 24, nicht stempelgleich.

66/67 (13)

26 2911 Vs. ΝΕΡΩΚΛ[ΑΥΚΑΙΣ ΣΕΒ] Γ ΕΡ Büste mit Stk. n. r.
Rs. AVTO KPA Büste des Apollon mit Lk. n. r. Im Feld r. ⌊IB
Bi. 23,5 mm, 13,01 g ↑
Landert. BMC 140. Milne 248. Curtis 55.

27* 2790 Vs. ΝΕΡΩΚ[ΛΑΥΚΑΙ]Σ ΣΕΒΓΕΡ Büste mit Stk. (und Aegis?) n. r.
Rs. AY TOPKA Büste des Apollon mit Lk. n. r. Im Feld r. ⌊IΓ
Bi. 26,5 mm, 12,94 g ↖
Kricheldorf, Liste 47, Nr. 155. Jb. 1959/60. BMC 139 var. Milne 248. Curtis 55.

28* 2603 Vs. ΝΕΡΩΚΛΑΥΚΑΙΣ ΣΕΒΓΕΡΑΥ Büste mit Stk. und Aegis n. r.
Im Feld l. unten |ΙΓ
Rs. ΘΕΟΣ ΣΕΒΑΣΤΟΣ Büste des Augustus mit Stk. n. r.
Bi. 24,1 mm, 12,86 g ↑
M&M Liste 60, Nr. 206. BMC 112. Milne 251. Curtis 175.

29 2436 Vs. ΝΕΡΩΚΛΑΥΚΑΙΣ ΣΕΒΓΕΡΑΥ Büste mit Stk. und Aegis n. l.
Im Feld l. |ΙΓ
Rs. ΤΙΒΕΡΙΟΣ ΚΑΙΣΑΡ Büste des Tiberius mit Lk. n. r.
Bi. 24,1 mm, 12,527 g ↑
BMC 114. Milne 256. Curtis 175.

30 2437 Vs. ΝΕΡΩΚΛΑΥΚΑΙΣ ΣΕΒΓΕΡΑΥ Büste mit Stk. und Aegis n. l.
Im Feld l. |ΙΓ
Rs. ΤΙΒΕΡΙΟ[Σ]ΚΑΙΣΑΡ Büste des Tiberius mit Lk. n. r.
Bi. 24,0 mm, 13,147 g ↑
BMC 114. Milne 256. Curtis 175.

31* 2604 Wie 30, nicht stempelgleich. Bi. 24,4 mm, 13,265 g ↑
M&M Liste 60, Nr. 207.

32 2442 Vs. [ΝΕΡΩΚΛΑΥ]ΚΑΙΣΣΕ[ΒΓΕΡΑΥ] Büste mit St. n. l.
Im Feld l. |ΙΓ
Rs. [ΔΙΟΣ] ΟΛΥΜΠΙΟΥ Büste des Zeus mit Lk. n. r.
Bi. 24,7 mm, 10,257 g ↑
BMC 126. Milne 262. Curtis 186.

33 2443 Vs. [ΝΕΡΩΚΛΑΥ] ΚΑΙΣΣΕΒΓΕΡΑΥ Büste mit Stk. n. l.
Im Feld l. |ΙΓ
Rs. ΗΡΑ ΑΡΓΕΙΑ Büste der Hera mit Diadem und Schleier n. r.
Bi. 25,5 mm, 12,805 g ↑
BMC 132. Milne 265. Curtis –.

34 2605 Vs. ΝΕΡΩΚΛΑΥΚΑΙΣ ΣΕΒΓΕΡΑΥ Büste mit Stk. und Aegis n. l.
Im Feld l. |ΙΓ
Rs. ΙΕΥΣ ΝΕΜ[ΕΙΟΣ] Büste des Zeus mit Eichenkranz und Aegis n. r.
Bi. 24,7 mm, 13,835 g ↑
M&M Liste 60, Nr. 205. BMC 129. Milne 263. Curtis 182.

35 2455 Vs. ΝΕΡΩΚΛΑΥΚΑΙΣΣΕΒΓΕΡΑΥ Büste mit Stk. n. r. Im Feld l. |ΙΓ
Rs. ΣΕΒΑΣΤΟΦΟΡΟΣ Segelschiff mit Steuermann n. r. Unten zwei Delphine.
Bi. 23,3 mm, 12,975 g ↖
BMC 177. Milne 273. Curtis 113.

36* 2456 Wie 35. Nicht stempelgleich. Bi. 24,6 mm, 13,245 g ↗

67/68 (14)

37 2444 Vs. [ΝΕΡΩΚΛΑΥ]ΚΑΙΣΣΕΒΓΕΡΑΥ Büste mit Stk. n. r. Im Feld l. |ΙΔ
Rs. ΗΡΑ ΑΡΓΕΙΑ Büste der Hera mit Diadem und Schleier n. r.
Bi. 23,5 mm, 13,445 g ↑
BMC 135. Milne 284. Curtis 121.

38 2445 Vs. ΝΕΡΩΚΛΑΥΚΑΙΣΣΕΒΓΕΡΑΥ Büste mit Stk. n. l. Im Feld l. |ΙΔ
Rs. ΠΟΣΕΙΔΩΝ ΙΣΘΜΙΟΣ Büste des Poseidon mit Dreizack n. r.
Im Feld l. *
Bi. 24,3 mm, 12,729 g ↖
BMC 136. Milne 298. Curtis 152.

39 2447 Vs. [ΝΕΡΩ]ΚΛΑΥΚΑΙΣΣΕΒΓΕΡΑΥ Büste mit Stk. n. l. Im Feld l. |ΙΔ
Rs. ΑΠΟΛΛΩΝ ΑΚΤΙΟΣ Büste des Apollon mit Lk. und Köcher n. r.
Im Feld l. *
Bi. 26,0 mm, 12,585 g ↗
BMC 144. Milne 300. Curtis 59.

Galba

68 (1)

40 2913 Vs. [ΛΟΥΚ] ΛΙΒΣΟΥΛΠΓΑΛΒΑΚΑΙΣ[ΣΕΒΑΥΤ] Büste mit Lk. n .r. Im Feld r. |Α
Rs. ΕΙΡΗ ΝΗ Büste der Eirene mit Lk. und Velum n. r., l. Kerykeion.
Bi. 25,0 mm, 11,755 g ↑
Landert. BMC 190. Milne 303. Curtis 204.

41 2607 Vs. ΛΟΥΚΛΙΒΣΟΥΛΠΓΑΛΒΑ[ΚΑΙΣΣΕ]ΒΑΥΤ Büste mit Lk. n. r.
Im Feld r. |Α
Rs. ΕΛΕΥ ΘΕΡΙΑ Eleutheria mit Kranz stehend n. l.
Bi. 24,4 mm, 12,65 g ↑
M&M Liste 60, Nr. 208. Milne 312. Curtis 206.

42 2458 Vs. ΛΟΥΚΛΙΒΣΟΥΛΠΓΑΛΒΑΚΑΙΣΣΕΒΑΥ Büste mit Lk. n. r.
Im Feld r. |Α
Rs. ΚΡΑ ΤΗΣΙΣ Kratesis mit Nike und Tropaion stehend n. l.
Bi. 25,7 mm, 12,742 g ↖
M&M Liste 23, Nr. 176. BMC 194. Milne 316. Curtis 220.

43* 2459 Vs. ΛΟΥΚΛΙΒΣΟΥΛΠΓΑΛΒΑΚΑΙΣΣΕΒΑΥ Büste mit Lk. n. r.
Im Feld r. |Α
Rs. ΡΩ ΜΗ Büste der Roma mit Helm, Schild und Lanze n. r.

Bi. 25,0 mm, 13,17 g ↖
M&M Liste 23, Nr. 177. BMC 197. Milne 319. Curtis 225.

44 2912 Vs. [ΛΟΥ]ΚΛΙΒΣΟΥΛΠΓΑΛΒΑΚΑΙΣΣΕΒΑΥΤ Kopf mit Lk. n. r.
Im Feld r. |A
Rs. ΑΛΕΞΑΝ ΔΡΕΑ Büste der Alexandria mit Elefantenhaut.
Bi. 25,0 mm, 10,255 g ↑
Landert. BMC 199. Milne 320. Curtis 196.

68/69 (2)

45 2457 Vs. ΣΕΡΟΥΙΓΑΛΒΑΑΥΤΟΚΑΙΣΣΕΒΑ‹Υ› Büste mit Lk. n. r.
Im Feld l. |B
Rs. ΕΛΕΥ ΘΕΡΙΑ Eleutheria mit Kranz und Lanze stehend n. l.
Im Feld l. Simpulum.
Bi. 24,7 mm, 12,494 g ↑
M&M Liste 23, Nr. 276. BMC 193. Milne 323. Curtis 216.

Otho

69 (1)

46* 2460 Vs. ΑΥΤΟΚΜΑΡΚΟΘΩΝΟΣΚΑΙΣΣΕΒ Büste mit Lk. n. r.
Im Feld r. |A
Rs. ΚΡΑ ΤΗΣΙΣ Kratesis mit Nike und Tropaion stehend n. l.
Bi. 25,1 mm, 13,09 g ↖
M&M Liste 23, Nr. 178. BMC 210. Milne 360. Curtis 239.

47 2914 Vs. [ΑΥΤΟΚΜΑΡΚΟΘΩΝΟΣΚΑΙΣΣΕΒ] Büste n. r. mit Lk.
Im Feld r. |A
Rs. [ΑΛΕΞΑΝ] ΔΡΕΑ Büste der Alexandria mit Elefantenhaut n. r.
Bi. 24,7 mm, 13,408 g ↑
Landert. BMC 212. Milne 368. Curtis 230.

48 3086 Vs. ΑΥΤΟΚΜΑΡΚΟΘΩΝΟΣΚΑΙΣΣΕΒ ‹ΑΥΤ› Büste mit Lk. n. r.
Rs. Büste des Sarapis n. r. Im Feld r. |A
Bz. 22,7 mm, 6,978 g ↑
Crippa 1966. BMC 213. Milne 369.

Vespasianus

69 (1)

49 2915 Vs. [ΑΥΤΤΙΦΛΑΥΙΟΥΕΣΠΑΣΙ]ΑΝΚΑΙΣ Büste mit Lk. n. r.
Im Feld r. |A

Rs. Nike fliegend n. l. mit Kranz und Palme.
Bi. 24,8 mm, 11,049 g ↗
Landert. BMC 235. Milne 382. Curtis 261.

50 2467 Vs. ΑΥΤΤΙΤΦΛΑΥΙΟΕΣΠΑΣΙΑΝΚΑΙΣ Büste mit Lk. n. r.
Im Feld r. ⌊A
Rs. ΑΛΕΞΑΝ ΔΡΕΙΑ Alexandria stehend n. l.
Bz. 24,7 mm, 10,707 g ↑
BMC 242. Milne 386.

69/70 (2)

51* 2461 Vs. ΑΥΤΟΚΚΑΙΣΣΕΒΑΟΥΕΣΠΑΣΙΑΝΟΥ Büste mit Lk. n. r.
Im Feld ⌊B
Rs. ΑΛΕΞΑΝ ΔΡΕΙΑ Alexandria stehend n. l.
Bi. 25,1 mm, 12,295 g ↑
M&M Liste 24, Nr. 145. BMC 243. Milne 306. Curtis –.

52 2608 Vs. ΑΥΤΟΚΚΑΙΣΣΕΒΑΟΥΕΣΠΑΣΙΑΝΟΥ Büste mit Lk. n. r.
Im Feld r. ⌊A
Bi. 27,1 mm, 12,298 g ↑
M&M Liste 60, Nr. 209. BMC 232. Milne 388. Curtis 254.

70/71 (3)

53 2463 Vs. ΑΥΤΚΚΑΙΣΟΥΕΣΠΑΣΙ[ΑΝΟΥ] Büste mit Lk. n. r.
Rs. Büste der Nike n. r. Im Feld r. ⌊Γ
Bz. 35,4 mm, 14,955 g ↑
BMC 249. Milne 414.

71/72 (4)

54 2466 Vs. ΑΥΤΟΚΚΑΙΣΣΕΒΑΟΥΕ[ΣΠΑΣΙΑΝΟΥ] Büste mit Lk. n. r.
Rs. Gewandbüste der Isis n. r. Im Feld r. ⌊Δ
Bz. 23,2 mm, 8,55 g ↖
BMC 264. Milne 420.

55 2465 Vs. ΑΥΤΟΚΚΑΙΣΣΕΒΑΟΥΕΣΠΑΣΙΑΝ̣Ο̣Υ̣ Büste mit Lk. n. r.
Rs. Büste des Sarapis. Im Feld r. LẸ
Bz. 25,1 mm, 8,197 g ↑
BMC 255. Milne 426.

76/77 (9)

56 2462 Vs. [ΑΥΤΟ]ΚΚΑΙΣΣΕΒ[ΑΟΥΕΣΠΑΣΙΑΝΟΥ ⌊ΕΝΑΤ]
Büste mit Lk. n. r.

Rs. AYTOKPATOPOΣTITO[YKAIΣAPOΣ] Büste des Titus mit Lk. n. r.
Bz. 33,7 mm, 16,315 g ↑
BMC 226, Milne 449.

57 2464 Vs. AYTOKKAIΣΣEBAOYEΣ ΠAΣIANOY ⌊ENAT
Büste mit Lk. n. r.
Rs. AYTOKPATOPOΣTITOYKAIΣAPOΣ Büste des Titus mit Lk. n. r.
Bz. 35,3 mm, 20,065 g ↗
M&M 1944. Wie 56, nicht stempelgleich.

Titus

79/80 (2)

58* 3087 Vs. AVTOKTITOVKAIΣOVEΣΠAΣIANOVΣEB Büste mit Lk. n. r.
Rs. OMO NOIA Homonoia sitzend n. l. Im Feld l. ⌊B
Bi. 25,5 mm, 13,262 g ↖
Crippa 1966. BMC 278. Milne 455. Curtis 271.

Domitianus

82/83 (2)

59* 2469 Vs. Büste mit Lk. n. r.
Rs. Ibis schreitend n. r. Im Feld r. ⌊B
Bz. 15,9 mm, 1,768 g ↖
Mionnet 388. BMC –. Dattari –. Milne –.

94/95 (1) oder 95/96 (15)

60 2468 Vs. [AYTKAIΣΘEOY] YIOΣΔOMITΣEBΓEPM Büste mit Lk. und Aegis n. r.
Rs. Kaiser in Kentaurenbiga stehend n. r. Im Abschnitt [LIΔ] oder [LIE]
Bz. 33,3 mm, 23,14 g ↑
BMC 338. Milne 523 oder 529.

Traianus

101/102 (5)

61 2916 Vs. [AVTKA]IΣNEP TRAIANΣEBΓEPM Kopf mit Lk. n. r.
Rs. Adler n. r. Im Feld L E
Bi. 24,2 mm, 11,967 g ↖
Landert. BMC 385. Milne 560. Curtis 328.

108/109 (12)

62* 3088 Vs. AVT TPAIANCЄB ΓЄPMΔAKIK Gewandbüste mit Lk. n. r.
Rs. Traian mit Adlerzepter in Quadriga n. r. Oben LIB
Bz. 35,6 mm, 21,212 g ↑
Crippa 1966. BMC –, vgl. 515. Milne 599. Dattari –, vgl. 743.

109/110 (13)

63 2917 Vs. [AVTT]PAIANAPI CЄBΓЄPMΔAKIK[ΠAP] Kopf mit Lk.
Rs. Büste des Nil mit Füllhorn n. r. Im Feld L̲I̲ Γ
Bi. 24,6 mm, 11,258 g ↗
Landert. BMC 379. Milne 795. Curtis 338.

64* 2474 Vs. AYT TPAIANCЄ BΓЄPMΔAKIK Büste mit Lk. und Aegis n. r.
Rs. Hermanubis stehend mit Kerykeion und Palmzweig, über l. Schulter Hymation. Vor seinem r. Fuß sitzender Schakal. Auf hoher Basis l. heilige Barke, r. geriefelte Kanne. Im Feld oben L I Γ
Bz. 34,8 mm, 23,86 g ↑
M&M 1944. Var. zu Dattari 918. BMC –. Feuardent/Demetrio –. Milne –. Vogt –.

111/112 (15)

65 2918 Vs. AVTTPAIANO CCЄBΓЄPMANIK Kopf mit Lk. n. r.
Rs. Kanopus n. r. (?). Im Feld L̲I̲ E
Bi. 24,5 mm, 10,498 g ↑
Landert. BMC 373. Milne 634. Curtis 317.

66 2470 Vs. AYTTPAIANCЄB[ΓЄPMΔAKIK] Büste mit Lk. n. r.
Rs. Zwei Osiris-Kanopen auf mit Lorbeerzweig verziertem Gestell.
Im Feld L̲I̲ E
Bz. 32,4 mm, 16,653 g ↖
BMC 452, Milne 662.

112/113 (16)

67 2609 Vs. AYTTPAIANCЄB ΓЄPMΔAKIK Büste mit Lk. und Aegis n. r.
Rs. ЄIPHNHKAI O MONOIA Eirene und Homonoia einander gegenüberstehend. Im Abschnitt LIZ
Bz. 33,7 mm, 13,613 g ↑
M&M Liste 60, Nr. 210. BMC 433. Milne vgl. 701 ff.

114/115 (18)

68 2471 Vs. [AYTTPAI]ANAPICЄBΓЄPMΔAKIK Paludamentbüste mit Lk. n. r.
Rs. Nilus über Nilpferd gelagert n. l., davor Genius mit Stab.

Im Abschnitt LIH
Bz. 33,8 mm, 18,955 g ↑
BMC 473. Milne 732.

116/117 (20)

69 2472 Vs. AYTTPAIANAPICЄBΓ[ЄPMΔAKIK] Büste mit Lk. und Aegis n. r.
Rs. Euthenia sitzend n. l. über Sphinx n. r. Im Abschnitt LK
Bz. 33,4 mm, 16,64 g ↑
BMC 484. Milne 811.

Hadrianus

117/118 (2)

70* 2919 Vs. AVTKAICTPIA NOCAΔPIANOCЄB Paludamentbüste mit Lk. n. r. Im Feld r. *.
Rs. Büste des Sarapis n. r. Im Feld L B
Bi. 23,5 mm, 12,504 g ↑
Landert. BMC –. Milne vgl. 885. Curtis –.

121/122 (6)

71 2486 Vs. AYTKAIC TPAIAΔPIACЄB Paludamentbüste vom Rücken mit Lk. n. r.
Rs. Nilus mit Schilf und Füllhorn über Krokodil gelagert n. l.
Im Feld l. [L] ς
Bz. 34,2 mm, 25,612 g ↖
BMC –. Milne 1023.

125/126 (10)

72* 3089 Vs. AVTKAI TPAIAΔPIACEB Paludamentbüste von hinten gesehen mit Lk. n. r.
Rs. L ΔEKATOV Hadrian mit Zepter, togatus, in Elefantenquadriga n. r.
Bz. 34,2 mm, 23,304 g ↑
Crippa 1966. BMC –. Milne 1167. Dattari 1605.

73* 2817 Vs. AYTKAI TPAIAΔPIACЄB Kopf mit Lk. n. r.
Rs. Kalathos mit Früchten zwischen zwei Fackeln. Dazwischen ‹L› Δ E
Bz. 18,7 mm, 4,70 g ↖
M&M 1961. Jb. 61/62. BMC –, vgl. 903. Milne –.

126/127 (11)

74 2920 Vs. AVTKAI [TPA]IAΔPIACЄB Büste mit Lk. n. r.
Rs. LENΔEKAT OV Stier n. r.
Bz. 23,6 mm, 9,504 g ↖
Landert. BMC –. Milne 1219.

127/128 (12)

75 2921 Vs. AVTKAI TPAIAΔPIACЄB Paludamentbüste von hinten gesehen mit Lk. n. r.
Rs. LΔωΔЄKAT Thronender Sarapis n. l., vor seinen Füßen Kerberos.
Bi. 25,2 mm, 11,488 g ↖
Landert. BMC 615 var. Milne 1255. Curtis 515.

76* 2480 Vs. AYTKAI TPAIAΔPIACЄB Paludamentbüste von hinten gesehen mit Lk. n. r.
Rs. LΔωΔЄ KATOV Ptah mit Zepter und Zange stehend n. l.
Bi. 24,9 mm, 8,68 g ↖
BMC 636. Milne 1257. Curtis 494.

77 2482 Vs. AYKAI TPAIAΔPIACЄB Paludamentbüste von hinten gesehen mit Lk. n. r.
Rs. ΠATHP ΠATPIΔOC Zwei verschlungene Hände. Im Feld oben L unten IB
Bi. 24,9 mm, 12,88 g ↖
BMC 670. Milne 1263. Curtis 416.

78 2489 Vs. AYTKAI TPAIAΔPIANOCCЄ Paludamentbüse von hinten gesehen mit Lk. und Aegis n. r.
Rs. Euthenia mit Ähren gelagert n. l. über Sphinx.
Im Abschnitt [L] ΛωΔЄK
Bz. 29,8 mm, 15,963 g ↖
BMC 802. Milne 1270.

79 2611 Vs. AYTKAI TPAIAΔPIACЄB Paludamentbüste wie 78.
Rs. Nilus gelagert n. l. mit Füllhorn über Krokodil.
Im Abschnitt LΔωΔЄK. Im Feld I ς
Bz. 35,1 mm, 22,4 g ↖
M&M Liste 60, Nr. 212. BMC 784. Milne –, vgl. 1264 und 1338. Feuardent/Demetrio 1317.

80* 2926 Vs. AVTKAI TPAIAΔPIACЄB Gewandbüste mit Lk. n. r.
Rs. Nilus gelagert n. l., Krokodil n. r. Im Abschnitt [LΔ]ωΔЄK.
Im Feld oben I ς
Dm. 35,2 mm, Gew. 24,085 g ↖
Landert. BMC –. Wie 79, nicht stempelgleich.

128/129 (13)

81 2922 Vs. [AVTKAI] TPAIAΔPIACЄB Büste von hinten gesehen mit Lk. n. r.
Rs. ΠAT HP ΠATPIΔOC Zwei Hände. Im Feld L/ΙΓ
Bi. 24,6 mm, 11,766 g ↖
Landert. BMC 671. Milne 1274. Curtis 420.

82* 3090 Vs. AVTKAI TPAIAΔPIACЄB Paludamentbüste von hinten gesehen mit Lk. n. r.
Rs. CABЄINACЄBACTH Gewandbüste der Sabina n. r.
Im Feld l. Iϛ/L
Bi. 25,1 mm, 13,620 g ↖
Crippa 1966. BMC 568 var. Milne 1321. Curtis –.

83* 3091 Vs. AVTKAI TPAIAΔPIACЄB Paludamentbüste wie vorher mit Lk. n. r.
Rs. Isis mit Harpokrates im Schoß thronend n. r. Im Feld L Iϛ
Bz. 26,5 mm, 8,700 g ↖
Crippa 1966. BMC 762. Milne var. zu 1345 (Isis n. l.). Dattari 1749.

129/130 (14)

84 2476 Vs. AYTKAI TPAIAΔPIACЄB Paludamentbüste wie vorher mit Lk. n. r.
Rs. Gewandbüste des Helios mit Stk. n. r. Im Feld L IΔ
Bi. 25,6 mm, 13,095 g ↖
BMC 584. Milne 1280. Curtis 429.

85 2477 Vs. AYTKAI TPAIAΔPIACЄB Paludamentbüste wie vorher.
Rs. Helios wie 84 (Gewand anders). Im Feld [L] IΔ
Bi. 23,1 mm, 12,379 g ↖
Wie 84, nicht stempelgleich.

86* 2818 Vs. AYTKAI TPAIAΔPIACЄB Paludamentbüste mit Lk. n. r.
Rs. Zeus liegend n. r. auf Adler mit Blitz. Im Feld unten L IΔ
Bz. 35,9 mm, 23,18 g ↖
M&M 1961. Jb. 61/62. BMC 673. Milne 1285.

87 2473 Vs. AYTKAI TPAIAΔPIACЄB Paludamentbüste von hinten gesehen mit Lk. und Aegis n. r.
Rs. Athena mit Nike stehend n. l. Im Feld LI Δ
Bz. 34,4 mm, 20,965 g ↖
BMC 689. Milne 1286.

88 2485 Vs. [AYTKAI] TPAIA[ΔPIACЄB] Gewandbüste mit Lk. n. r.
Rs. Dikaiosyne mit Füllhorn und Waage stehend n. l. Im Feld LI Δ.
Bz. 28,8 mm, 11,17 g ↖
BMC 709. Milne –.

130/131 (15)

89* 2610 Vs. AYTKAI TPAIAΔPIACЄB Paludamentbüste von hinten gesehen mit Lk. n. r.
Rs. Hadrian stehend n. l. empfängt Ähren von Alexandria mit vexillum, stehend n. r. Im Feld L IE.
Bi. 24,9 mm, 13,13 g ↑
M&M Liste 60, Nr. 211. BMC 669. Milne 1294. Curtis 409.

90 2923 Vs. AVTKAI [TPAIAΔPIACЄB] Büste wie 89
Rs. Hadrian und Alexandria wie 89. Im Feld [L I E], durch dicke Kruste verdeckt, Anordnung nicht feststellbar.
Bi. 24,6 mm, 12,194 g ↑
Landert. BMC 669. Milne 1294 ff. Curtis 409 ff.

91 2925 Vs. AVTKAI TPAIAΔPIACЄB Paludamentbüste von hinten gesehen mit Lk. n. r.
Rs. Opfernder Kaiser n. l. Altar l. Im Feld LI E
Bz. 30,0 mm, 13,351 g ↖
Landert. BMC –. Milne 1318.

130/131 (15) oder 131/132 (16)

92* 2819 Vs. AYTKAI TPAIAΔPIACЄB Paludamentbüste von hinten gesehen mit Lk. n. r.
Rs. Hadrian *capite velato* mit Adlerzepter in Quadriga n. r., wird empfangen von Alexandria, stehend n. l. mit vexillum. Im Abschnitt L I (Δ evtl. Є)
Bz. 35,7 mm. Ein Stück ausgebrochen. ↖
M&M 1961. Ausführlich beschrieben von H. Jucker, Jb. 61/62, 290. 295–298. Vgl.: BMC 868 (LIE). Dattari 1594/95 (LIE). Milne 1314 (LIE), 1340 (LI_{ς}).

93* 2924 Vs. AVTKAI[CTPA ·] AΔ[PIANOCCЄB] Büste mit Lk. n. r.
Rs. Alexandria in kurzem Gewand, mit Elefantenfell als Kopfbedeckung, 2 (?) Ähren in der l. Hand, eilt nach rechts und begrüßt den Kaiser (togatus, mit Zepter) mit Handkuß. Im Feld [L] I Ḕ (?)
(E eher H, aber im Jahre 18 kommt diese Prägung bei Milne nicht vor.)
Bz. 35,1 mm, 22,654 g ↖
Landert. BMC var. zu 869–870. Milne 1317 (?).

131/132 (16)

94 2478 Vs. AYTKAI TPAIAΔPIACЄ Paludamentbüste von hinten gesehen mit Lk. n. r.
Rs. Thronender Sarapis mit Zepter n. l., vor den Füßen l. Kerberos.
Im Feld oben LI ς
Bi. 24,4 mm, 13,348 g ↖
BMC 617. Milne 1324. Curtis 516.

132/133 (17)

95 2927 Vs. AVTKAIC TPAIAΔPIACЄB Paludamentbüste von hinten gesehen n. r.
Rs. Nilus gelagert n. l. mit Füllhorn und Schilf oder Ähre über Krokodil n. r. Im Feld l. oben LIZ
Bi. 23,0 mm, 12,061 g ↖
BMC 648 v. Milne 1351. Curtis 460.

96* 3092 Vs. AVTKAICTPAIAN AΔPIANOCCЄB Paludamentbüste von hinten gesehen mit Lk. n. r.
Rs. Büste des Zeus Pantheos n. r. mit Modius, Strahlenkrone und Widderhorn. L. Dreizack mit Schlange, r. Füllhorn. Im Feld r. LIZ
Bz. 35,1 mm, 30,570 g ↑
M&M Liste 262, Nr. 48. BMC –, vgl. 744. Milne –. Dattari –. Vgl. Münzhandl. Basel 6 (1936) 504.

97* 2483 Vs. AYTKAICTPAIAN [AΔPIANOCCЄB] Gewandbüste mit Lk. n. r.
Rs. Dioskuren stehend, über den Köpfen je ein Stern, dazwischen Mondsichel. Im Feld [L] I Z
Bz. 36,4 mm, 23,97 g ↖
BMC –. Milne 1363.

98 2492 Vs. AYTKAICTPAIAN AΔPIANOCCЄB Gewandbüste mit Lk. n. r.
Rs. Nilus n. l. mit Schilf und Füllhorn über Krokodil gelagert.
Im Feld l. L I Z
Bz. 27,2 mm, 11,555 g ↖
BMC –. Milne –. Dattari vgl. 1786 (andere Trennung).

133/134 (18)

99 2928 Vs. AVKAICTPAIAN AΔPIANOCCЄB Gewandbüste mit Lk. n. r.
Rs. Thronender Sarapis n. l. Adler n. l. Im Feld l. oben LIH
Bi. 24,8 mm, 12,796 g ↗
Landert BMC –. Milne 1395. Curtis –.

100 2479 Vs. AYTKAICTPAIAN AΔPIANOCCЄB Gewandbüste mit Lk. n. r.
Rs. Thronender Sarapis n. l. mit Zepter, l. vor den Füßen Kerberos.
Im Feld LI H
Bi. 24,6 mm, 12,42 g ↖
BMC 622. Milne 1398. Curtis 527.

101 2930 Vs. AVT[KAICTP]AIAN AΔPIA[NOC]CЄB Gewandbüste (?) mit Lk. n. r.
Rs. Demeter stehend n. r. und Euthenia stehend n. l. Im Feld (außen) L IH
Bz. 32,2 mm, 21,498 g ↑
Landert. BMC –. Milne 1409.

102 2929 Vs. AVTKAICTPAIAN AΔPIANOCCЄB Gewandbüste mit Lk. n. r.
Rs. Demeter stehend n. r. und Euthenia stehend n. l. Im Feld (l. und Mitte) L I H
Bz. 35,3 mm, 25,897 g ↖
Landert. BMC –. Milne 1410.

103 2484 Vs. AYTKAICTPAIAN [AΔPIANOCCЄB] Gewandbüste mit Lk. n. r.
Rs. Isis Pharia mit Segel und Sistrum n. r. Im Feld L ‹IH› (nach Milne)
Bz.33,6 mm, 19,81 g ↖
BMC –, vgl. 750 ff. Milne 1413 (?).

104* 3093 Vs. AVTKAICTPAIAN· AΔPIANOCCЄB Paludamentbüste mit Lk. n. r.
Rs. Isis Pharia wie 103. Im Feld oben LIH
Bz. 33,6 mm, 19,81 g ↖
M&M Liste 262, Nr. 50. BMC 757 var. Milne 1414.

105 2490 Vs. AYTKAICTPAIA[N· AΔPIANOC]CЄ‹B› Gewandbüste mit Lk. n. r.
Rs. Geflügelte Sphinx mit Rad n. l. Im Feld oben L̤I̤H̤
Bz. 33,3 mm, 19,08 g ↖
BMC 846/849. Milne 1426.

106 2491 Vs. AYTKAICTPAIAN· AΔP[IANOCCЄB] Gewandbüste mit Lk. n. r.
Rs. Sphinx wie 105, Körper mehr aufgerichtet.
Bz. 33,6 mm, 23,467 g ↑
Wie 105.

107 2612 Vs. [AYT]KAI[TPAIAN AΔPIANOC]CЄB Gewandbüste mit Lk. n. r.
Rs. Sphinx wie 105. Im Feld L I H
Bz. 32,1 mm, 24,355 g ↖
M&M Liste 60, Nr. 213. BMC 848. Milne 1426.

134/135 (19)

108 2481 Vs. AYTKAICTPAIAN AΔPIANOCCЄB Kopf mit Lk. n. l.
Rs. LЄN NЄAKΔ Gewandbüste des Nilus mit Füllhorn n. r., über dem Kopf zwei Kugeln.
Bi. 24,9 mm, 12,575 g ↑
BMC 644 var. Milne 1454. Curtis 452.

Ab 135/136 (20)

109 2931 Vs. AVTKAICTP[A] AΔPIANOC[CЄB] Kopf mit Lk. n. r.
Rs. Nilus sitzend n. l. mit Füllhorn und Schilf. Unten r. Krokodil n. r. Jahreszahl wegen Verkrustung nicht feststellbar.
Bi. 25,0 mm, 10,631 g ↑
Landert. BMC 649 ff. Milne 1491 ff. Curtis 467 ff.

136/137 (21)

110 2475 Vs. AYTKAICTPA AΔPIANOCCЄB Kopf mit Lk. n. r.
Rs. Demeter mit Ährenkranz, Ähren und Fackel stehend n. l.
Im Feld L / K A
Bi. 24,7 mm, 12,105 g ↖
BMC 579. Milne 1512. Curtis –.

111 2933 Vs. [AVT]KAICTPA AΔPIANOCCЄB Kopf mit Lk. n. r.
Rs. Demeter stehend n. l. mit Ähren und Fackel. Im Feld L / K A
Bi. 24,2 mm, 11,01 g ↑
Landert. BMC 579 var. Milne 1520. Curtis 386.

112 2932 Vs. AVTKAICTPA · AΔPIANOCCЄB Kopf mit Lk. n. l.
Rs. Triptolemos in Schlangenwagen n. r. Im Feld L KA
Bi. 24,5 mm, 12,634 g ↖
Landert. BMC 582 var. Milne 1533. Curtis 544.

113* 2821 Vs. AYTKAICTPAIAN AΔPIANOCCЄB Kopf mit Lk. n. l.
Rs. Tyche gelagert auf Kline n. l. Im Feld K A / L
Bz. 34,5 mm, 28,370 g ↖
M&M 1961. Jb. 61/62. Mit Kopf n. l. unediert. Vgl.: BMC 733 (Kopf n. r.). Milne 1548 (Rs.).

Aelius Caesar

136/137

114* 2873 Vs. ΛΑΙΛΙΟC KAICAP Büste n. r., Paludamentum über l. Schulter
Rs. ΔΗΜЄΞ O VCYΠΑΤ Homonoia stehend n. l., über Altar spendend, i. d. Linken Füllhorn.
Bi. 24,4 mm, 11,61 g ↑
Aus dem Bazar von Kairo. Jb. 61/62, 307 Abb. 27. BMC 921 f. Dattari 2074 f. Milne 5141. Curtis 563.

Antinoos

136/137 (21)

115* 2820 Vs. ANTINOOY HPωOC Gewandbüste n. l.
Rs. Antinoos als Hermes mit Kerykeion zu Pferd n. r. Im Feld L A ‹K›
Bi. 22,3 mm, 8,525 g ↑
M&M 1961. Jb. 61/62. BMC –. Milne –. Curtis –. G. Blum, Numismatique d'Antinoos, JIN 16, 1914, 56, Nr. 28.

Antoninus Pius

138/139 (2)

116 2934 Vs. AVTKTAIΛAΔP ANTω[NINOCЄV]CЄB Gewandbüste n. r.
Rs. Kanopus des Osiris n. r., untere Hälfte verziert. Im Feld ЄTO VC r. unten B.
Bi. 24,00 mm, 11,089 g ↑
Landert. BMC 992. Milne 1595 var. Curtis 589.

139/140 (3)

117 2936 Vs. AV TKTAIΛAΔP ANTωNINOC Kopf n. r.
Rs. L TPI TOV Eirene stehend n. l. mit Ähren und Caduceus.
Bi. 23,3 mm, 11,986 g ↑
Landert. BMC 958. Milne 1640. Curtis –.

118 2935 Vs. AVTKTAIΛAΔP ANTωNINOC Büste n. r.
Rs. L TPI TOV Eirene stehend n. l. mit Ähren und Caduceus.
Bi. 24,5 mm, 10,825 g ↖
Landert. BMC 958 var. Milne 1647. Curtis vgl. 609.

140/141 (4)

119* 3094 Vs. AVT KTAIΛAΔP ANTωNINOCЄVCCЄB Gewandbüste mit Lk. n. r.

Rs. Büste des Herakles n. l. Im Feld L Δ
Bz. 34,7 mm, 25,368 g ↗
M&M Liste 263, Nr. 41. Unediert.

120 2493 Vs. AYT KTAIΛAΔPANTΩN[INOC] Büste mit Lk. n. r.
Rs. Tyche mit Steuerruder und Füllhorn stehend n. l. Im Feld l. oben L Δ
Bi. 23,6 mm, 7,735 g ↖
BMC 972. Milne 1669. Curtis 671.

121* 2944 Vs. ANTΩNINOCAVT KTAIΛAΔP Gewandbüste mit Lk. n. r.
Rs. Dikaiosyne thronend, mit Waage und Füllhorn, n. l.
Im Feld l. oben |Δ
Bi. 24,0 mm, 10,667 g ↑
Landert. BMC –. Milne –. Curtis – vgl. 595.

122 2937 Vs. ‹AVTKTAIΛAΔP› AN‹TΩNINOC ЄVCЄB› Büste – wohl mit Lk. – n. r.
Rs. Tyche stehend n. l. mit Steuer und Füllhorn. Im Feld l. oben |Δ (?)
Bz. 34,0 mm, 21,193 g ↖
Landert. Vgl. (Diobol!): BMC 1073. Milne 1682.

141/142 (5)

123 2938 Vs. ANTΩNINOC CЄBЄVCЄB Gewandbüste, von hinten gesehen, mit Lk. n. r. Rs. Artemis n. r. eilend. Im Feld l. E/L
Bi. 23,4 mm, 10,455 g ↖
Landert. BMC –. Milne 1705. Curtis 575.

143/144 (7)

124 2940 Vs. ANTΩNINOC CЄBЄVCЄB Gewandbüste mit Lk. n. r.
Rs. Sarapis thronend n. l. mit Modius und Zepter l., zu seinen Füßen Kerberos. Im Feld l. |Z
Bi. 23,4 mm, 10,785 g ↖
Landert. BMC 983. Milne 1744. Curtis –.

125 2941 Vs. ANTΩNINOC CЄ[BЄ]VCЄB Kopf mit Lk. n. r.
Rs. Sarapis thronend n. l. mit Modius und Zepter, l. vor seinen Füßen Kerberos. Im Feld L Z
Bi. 24,3 mm, 10,639 g ↖
Landert. BMC 983 var. Milne 1746. Curtis 662.

126* 3095 Vs. ANTΩNINOC [CЄB]ЄVCЄB Gewandbüste von hinten gesehen mit Lk. n. r.

Rs. Sarapis in Quadriga n. l. Im Feld oben LZ
Bi. 23,5 mm, 13,210 g ↖
Crippa 1966. BMC –. Milne 1753 var. Curtis –. Dattari var. zu 2374.

144/145 (8)

127 2494 Vs. ANTϢNINOC CЄBЄYCЄB Kopf mit Lk. n. r.
Rs. Gewandbüste des Sarapis n. r. Im Feld L H
Bi. 23,1 mm, 12,782 g ↖
BMC – vgl. 977. Milne 1779. Curtis 658.

128* 2874 Vs. ANTϢNINO CCЄBЄYCЄB· Kopf mit Lk. n. r.
Rs. Sarapis thronend n. l., mit Zepter und Kerberos. Über der Thronlehne l. Nike mit Kranz gegen den Gott gewandt. Im Feld L H
Bi. 23,8 mm, 14,10 g ↑
Jb. BHM 61/62, 296 Abb. 11. BMC 985 var. Milne 1788.

129 2615 Vs. [AYT]KTAIΛAΔP ANTϢNI[NOCCЄB]ЄYCЄB Kopf mit Lk. n. r.
Rs. Nilus n. l. mit Schilf und Füllhorn mit Genius über Krokodil gelagert. Im Feld l. L H oben I ς
Bz. 34,5 mm, 17,895 g ↖
M&M 60, Nr. 216. BMC 1144. Milne –.

130* 3096 Vs. AVTKTAIΛAΔP ANTϢNINOCC[ЄBЄVC] Büste mit Lk. n. r.
Rs. Pharos. Im Feld L H
Bz. 29,6 mm, 11,940 g ↑
M&M Liste 263, Nr. 46. BMC var. zu 1206. Milne 1841.

145/146 (9)

131* 2495 Vs. ANTϢNЄIOC CЄ· BЄYCЄB· Kopf mit Lk. n. r.
Rs. Gewandbüste des Sarapis n. r. LЄNA TOY
Bi. 24,6 mm, 12,872 g ↑
BMC –. Milne – vgl. 1857. Curtis –.

132 2613 Vs. ANTNϢINO CCЄBЄYCЄB Gewandbüste mit Lk. n. r.
Rs. Sarapis wie 131.
Bi. 25,2 mm, 13,403 g ↑
M&M Liste 60, Nr. 214. BMC 978. Milne 1854. Curtis –.

133* 2942 Vs. ANTϢNЄINO‹C› CЄBЄVCЄB Büste mit Lk. n. r.
Rs. Stehender Adler mit offenen Flügeln, Kopf n. l.
Im Feld L Є NA TOV

Bi. 23,6 mm, 11,391 g ↑
Landert. BMC –, vgl. 1002. Milne –. Curtis –. Dattari –, vgl. 2422 f.

146/147 (10)

134 2614 Vs. AYTKTAIΛAΔP ANTωNEBEINOCCEYC Kopf mit Lk. n. r.
Rs. LΔ EKA T OY Zeus auf Adler mit offenen Flügeln n. l.
Bz. 33,2 mm, 22,55 g ↑
M&M Liste 60, Nr. 217. BMC 1014. Milne 1904.

135* 2945 Vs. ANTωNIN [OC]CEBEVCEB Büste mit Lk. n. r.
Rs. LΔE KATOV Elpis stehend n. l. mit Blume.
Bi. 23,0 mm, 12,757 g ↑
Landert. BMC –. Milne 1890 var. Curtis –.

136* 2943 Vs. ANTωNEINOC CEBEVCEB Kopf mit Lk. n. r.
Rs. LΔE K ATOV Athena stehend n. l., mit Eule und Schild.
Bi. 23,0 mm, 12,889 g ↖
Landert. BMC –. Milne – vgl. 1884. Curtis – vgl. 591 ff.

147/148 (11)

137 5980 Vs. ANTωNINOC CEBEYCEB Büste mit Lk. n. r.
Rs.LENΔE KATOY Roma mit Nike sitzend n. l.
Bi. 22,3 mm, 12, 585 g ↑
Gefunden 1958 im Gemüsegarten des Hotels du Nord, *Interlaken.* SM 1961, 103.
BMC 996. Milne 1948. Curtis –, vgl. 654.

138 2946 Vs. AVT [KTAIΛ] AΔP AN[TωNINOCCEB] EVC Büste mit Lk. n. r.
Rs. [LEN]ΔE KATO[V] Elpis stehend n. r. mit Blume.
Bz. 34,1 mm, 28,365 g ↖
Landert. BMC – vgl. 1065. Milne 1963.

148/149 (12)

139* 2947 Vs. [ANTωNI]NOC CEB EVC[E]B Kopf mit Lk. n. r.
Rs. LΔωΔE KATOV Büste des Ammon mit runder Scheibe und Widderhorn n. r.
Bi. 22,9 mm, 9,741 g ↖
Landert. BMC –. Milne 1972 (?). Curtis –.

140 2496 Vs. AYTKTAIΛAΔP ANTωNINOCCEBEYC Büste mit Lk. n. r.
Rs. LΔωΔ E KA[T]OY Athena mit Nike stehend n. l.
Bz. 34,0 mm, 24,895 g ↑
BMC 1034. Milne vgl. 1997.

141 2948 Vs. ANTωNINO[C] CϵBϵVCϵB Büste mit Lk. n. r.
Rs. LΔωΔϵ KATOV Büste des Sarapis mit Modius n. r.
Bi. 23,1 mm, 10,768 g ↖
Landert. BMC –. Milne –. Curtis –. Dattari 2350.

142* 2822 Vs. [AYT]KTAIΛAΔP ANTωNINOC‹...› Paludamentbüste mit Lk. n. r.
Rs. Δ ω Δ ϵKA Isis Pharia n. r., r. Pharos. Im Abschnitt L YO
Bz. 33,0 mm, 21,1 g ↑
M&M 1961. Jb. 61/62 (Vs. Legende irrtüml.). BMC –, vgl. 1119/20. Milne vgl. 2004.

143 2949 Vs. [AVTKTAIΛ]AΔP ANTωNINOCCϵB ϵVCϵB Büste mit Lk. n. r.
Rs. ΔωΔ ϵKAT Sarapis thronend n. l., in Tempel.
Im Abschnitt: L OV
Bz. 31,9 mm, 22,950 g ↑
Landert. BMC 1193. Milne 2012.

149/150 (13)

144 2498 Vs. [AYTKTAIΛAΔP ANTωNINOCCϵBϵYC] Gewandbüste mit Lk. n. r.
Rs. TPICKAIΔIc Nilus mit Schilf und Füllhorn mit Genius gelagert n. l. über Krokodil. Im Feld l. L
Bz. 34,1 mm, 20,91 g ↖
BMC –. Milne 2061.

150/151 (14)

145 2950 Vs. ANTωNINOC CϵBϵVCϵB Büste mit Lk. n. r.
Rs. Büste des Nilus mit Lotuskranz n. r. L. Füllhorn. Im Feld L IΔ
Bi. 22,5 mm, 10,852 g ↖
Landert. BMC –. Milne 2070. Curtis –.

151/152 (15)

146 2951 Vs. ANTωNIN OCCϵBϵVCϵB Kopf mit Lk. n. r.
Rs. Dikaiosyne stehend n. l. mit Waage und Füllhorn. Im Feld l. I ϵ / L
Bi. 22,3 mm, 12,575 g ↖
Landert. BMC – vgl. 950. Curtis – vgl. 602.

147* 3097 Vs. AVTKTAIΛAΔP ANTωNINOCCϵBϵVC Büste mit Lk. n.r.
Rs. Büste des Sarapis über Widder (mit Scheibe über Kopf) n. r. vor Altar. *Sternbild: Sarapis in ariete.* Im Feld L I ϵ
Bz. 35,0 mm, 30, 062 g ↖
M&M Liste 263, Nr. 52. BMC –. Milne –. Dattari 2833.

152/153 (16)

147a 2616 Vs. ANTϢNIN OCCЄBЄVCЄB Kopf mit Lk. n. l.
Rs. Dikaiosyne thronend n. l. Im Feld l. oben |IC
Bi. 21,7 mm, 12,715 g ↖
M&M Liste 60, Nr. 215. BMC –. Milne 2170. Curtis –.

153/154 (17)

148* 2823 Vs. Legende unleserlich. Kopf mit Lk. n. r.
Rs. Altar mit sechs Säulen, ohne Statuen, mit Schranken in den Interkolumnien. Girlandenfries. Flamme. Im Abschnitt L, im Feld I Z
Bz. 33,5 mm, 16,38 g ↗
M&M 1961. Jb. 61/62. BMC –, Rs. vgl. 1255 (Marcus Caesar!). Milne 2250/53.

154/55 (18)

149 2952 Vs. ANTϢNINO CЄBЄVCЄB Gewandbüste mit Lk. n. r.
Rs. Büste des Nilus mit Lotuskranz n. r. L. Schilf, r. Füllhorn.
Im Feld L I H
Bi. 21,6 mm, 9,907 g ↗
Landert. BMC –. Milne 2277 var. Curtis –.

150 2953 Vs. ANTϢNIN OC CЄBЄVCЄB Büste mit Lk. n. r.
Rs. Nilus gelagert n. l. mit Schilf und Füllhorn, r. unten Krokodil.
Im Feld l. oben |IH
Bi. 23,4 mm, 10,579 g ↖
Landert. BMC 993. Milne 2292. Curtis –.

155/156 (19)

151 2954 Vs. ANTϢNIN OCCЄBЄVCЄB Gewandbüste mit Lk. n. r.
Rs. Gewandbüste des Helios n. r. Im Feld L IΘ
Bi. 22,5 mm, 10,987 g ↖
Landert. BMC –. Milne 2305. Curtis –.

159/160 (22)

152 2955 Vs. ANTϢNINOC [CЄ]BЄV[CЄB] Gewandbüste (?) mit Lk. n. r.
Rs. Nilus gelagert n. l. mit Schilf und Füllhorn über Krokodil.
Im Feld l. |KB
Bi. 23,6 mm, 11,278 g ↖
Landert. BMC –. Milne 2379. Curtis 645.

138–161

153 2956 Vs. AVTKTAIΛAΔP ANTωNINOC Büste mit Lk. n. r.
Rs. Büste der Demeter mit Polos, Schleier n. r. L. Fackel, r. im Feld Jahreszahl, nur L zu erkennen.
Bi. 24,5 mm, 12,308 g ↗
Landert. Vgl.: BMC 934 var. Milne 1652 var. Curtis 590.

M. Aurelius Caesar

148/149 (12)

154* 2958 Vs. [MAVP]HΛIC KAICA[P] Kopf n. r.
Rs. LΔωΔЄ KATOV Büste des Sarapis mit Modius n. r.
Bi. 22,8 mm, 11,970 g ↖
Landert. BMC –. Milne 1973. Curtis –.

159/160 (22)

155* 3098 Vs. MAVPHΛIC KAICAP Gewandbüste n. l.
Rs. Gewandbüsten des Helios und der Selene n. r. Im Feld L B/K
Bi. 23,9 mm, 11,516 g ↖
Crippa 1966. BMC –. Milne –. Curtis –. Dattari 3159 var.

Marcus Aurelius

163/164 (4)

156* 3099 Vs. MAVPHΛI ANTωNINOCC Büste mit Lk. n. l.
Rs. Gewandbüste des Helios n. r. Im Feld L Δ
Bi. 25,2 mm, 12,959 g ↖
Crippa 1966. BMC var. zu 1257. Milne –, vgl. 2478. Curtis –. Dattari var. zu 3345.

174/175 (15)

157* 3100 Vs. MAVPHΛIOC ANTωNINOCCЄ Büste mit Lk. n. r.
Rs. Barke n. r. Im Feld L I Є
Bz. 24,5 mm, 11,498 g ↖
M&M Liste 263, Nr. 58. Unediert.

Faustina Filia

149/150 (13)

158 2957 Vs. ΦAVCTINA CЄBACTH Büste n. r.
Rs. Eirene stehend n. l. mit Ähren und Kerykeion. Im Feld L I Γ
Bi. 23,4 mm, 9,793 g ↖
Landert. BMC 1320. Milne –. Curtis 683.

150/151 (14)

159* 3101 Vs. ΦAVCTINACЄB CЄBЄVCЄBΘVΓA Gewandbüste n. r.
Rs. Triptolemos auf Schlangenwagen n. r. Im Feld oben L I Δ
Bz. 35,5 mm, 25,911 g ↖
M&M Liste 263, Nr. 56. BMC 1332. Milne 2105.

155/156 (19)

160* 2617 Vs. ΦAVCTINA CЄBACTH Gewandbüste n. r.
Rs. Gewandbüste des Sarapis n. r. Im Feld L I Θ
Bi. 22,8 mm, 12,566 g ↑
M&M Liste 60, Nr. 219. BMC 1325. Milne –. Curtis –, vgl. 695.

164/165 (5)

161* 3102 Vs. ΦAVCTINA CЄBACTH Gewandbüste n. r.
Rs. Aphrodite stehend n. l. mit Helm und Schild;
auf dem Schild: ΔV / NA / MIC. Im Feld l. Є L
Bi. 23,4 mm, 11,788 g ↖
Crippa 1966. BMC 1345. Milne 2505. Curtis 776.

Commodus

182/183 (23)

162* 2959 Vs. MAVPKOM[MO] ANTωNINOC‹CЄ› Kopf mit Lk. n. r.
Rs. VΠAT OC TOΔ Zeus thronend n. l. mit Victoria und Zepter.
Im Abschnitt [L]KΓ
Bi. 23,8 mm, 13,626 g ↑
Landert. BMC 1396. Milne –. Curtis –.

186/187 (27)

163 2500 Vs. MAKOMANTω CЄBЄVCЄB Büste mit Lk. n. r.
Rs. Kopf des Zeus mit Lk. n. r. Im Feld K L Z
Bi. 25,3 mm, 11,41 g ↑
BMC 1394. Milne 2665. Curtis 862.

164 2501 Vs. MAKOMANTω [CЄBЄVCЄB] Büste mit Lk. n. r.
Rs. Wie 163. Nicht stempelgleich.
Bi. 23,9 mm, 10,93 g ↖

165 2960 Vs. MAKOMANT[ω CЄBЄ]VCЄB Büste mit Lk. n. r.
Rs. Kopf des Ammon mit Rundscheibe und Horn. Im Feld [K Z] L
Bi. 24,3 mm, 11,968 g ↖
Landert. BMC 1402. Milne 2668. Curtis 785.

187/188 (28)

166 2502 Vs. MAKOMAN[TW] CEBEVCEB Büste mit Lk. n. r.
Rs. Thronender Zeus mit Blitz und Zepter n. r. Im Feld K/L H
Bi. 24,8 mm, 10,65 g ↑
BMC 1397. Milne 2672. Curtis 870.

188/189 (29)

167 2503 Vs. MAKOMANTW CEBEVCEB Kopf mit Lk. n. r.
Rs. Thronender Zeus mit Blitz und Zepter n. l. Im Feld K/L Θ
Bi. 23,4 mm, 9,843 g ↗
BMC 1399. Milne 2677. Curtis 871.

189/190 (30)

168 2962 Vs. MAKOMANTW CEBEVCEB Kopf mit Lk. n r.
Rs. Büste der Selene n. l. L. großer Halbmond.
Im Feld r. (nicht mehr sichtbar) [|Λ]
Bi. 24,7 mm, 12,578 g ↗
Landert. BMC 1405. Milne 2689. Curtis 853.

169 2961 Vs. MA[KO]MANTW CEBEVCEB Kopf mit Lk. n. r.
Rs. Sarapis stehend mit Patera n. l., r. Brunnen. Im Feld L Λ
Bi. 23,0 mm, 9,863 g ↗
Landert. BMC 1422. Milne 2694. Curtis 850.

190/191 (31)

170 2618 Vs. MAKOMANTW CEBEVCEB Kopf mit Lk. n. r.
Rs. Tyche auf Kline gelagert n. l. Im Feld oben l. |ΛA
Bi. 24,8 mm, 10,483 g ↑
M&M Liste 60, Nr. 221. BMC 1418. Milne 2697 –. Curtis 858.

191/192 (32)

171* 2963 Vs. [Λ]AIΛAVPKOM CEEVCEEV[TV] Kopf mit Lk. n. r.
Rs. Athena sitzend n. l. mit Nike, Schild und Lanze. Im Feld Λ/L B
Bi. 22,8 mm, 11,771 g ↑
Landert. BMC 1409. Milne –. Curtis –.

Septimius Severus

193/194 (2)

172 2505 Vs. [AVT]KΛCEΠT· CEO[VH]POCΠEPTCEB Kopf mit Lk. n. r.
Rs. Dikaiosyne stehend n. l. Im Feld L B
Bz. 29,8 mm, 19,535 g ↑
BMC 2438. Milne –, vgl. 2709.

197/198 (6)

173* 3103 Vs. AVTKΛCЄΠCЄVHЄVCЄΠЄPTCЄBAPAAΔI Büste mit Lk. n. r.
Rs. ... ΔOMN A CЄB ... Iulia Domna sitzend n. l. Im Feld l. L ς
Bi. 23,5 mm, 11,667 g ↑
M&M Liste 263, Nr. 61. Unediert.

Julia Domna

197/198 (6)

174* 2791 Vs. IOVΛIAΔO MNA Gewandbüste n. r.
Rs. Tyche sitzend n. l. Im Feld l. oben ⌊ς
Bi. 23,7 mm, 10,99 g ↑
M&M Liste 200, Nr. 50. Jb. 59/60. BMC –. Feuardent/Demetrio 2307. Dattari –. Milne –. Curtis –.

Elagabalus

220/221 (4)

175 2964 Vs. AKAICAPMAAVP ANTωNIN[OC] ЄVCЄB Kopf mit Lk. n. r.
Rs. Nilus sitzend auf Felsen n. l. mit Schilf und Füllhorn. Im Feld l. ⌊Δ
Bi. 23,5 mm, 12,843 g ↖
Landert. BMC 1509. Milne 2817. Curtis 980.

176 2965 Vs. AKAICMAAVP ANTωNINOC (ЄVCЄB?) Kopf mit Lk. n. r.
Rs. Nilus sitzend auf Felsen n. l. mit Schilf und Füllhorn. L. im Feld ⌊Δ
Bi. 23,1 mm, 11,619 g ↖
Landert. BMC – vgl. 1509. Milne 2817. Curtis 980.

Iulia Maesa

220/221 (4)

177 2966 Vs. IOYMAICA CЄMHC[TP]A Gewandbüste n. r.
Rs. Dikaiosyne stehend n. l. L. oben im Feld ⌊Δ
Bi. 24,9 mm, 13,145 g ↑
Landert. BMC – vgl. 1570. Milne –. Curtis –.

Annia Faustina

221/222 (5)

178* 3104 Vs. ANNIA ΦAVCTINA [CЄBA] Gewandbüste n. r.
Rs. Gewandbüsten des Helios und der Selene n. r. Im Feld r. ⌊Є
Bi. 23,1 mm, 13,532 g ↖
Crippa 1966. BMC –. Dattari 4193. Milne –. Curtis 1025.

Severus Alexander

222/223 (2)

179 2967 Vs. AKAIMAPAVPCЄVHP AΛЄΞANΔPOC ЄV[CЄB] Kopf mit Lk. n. r.
Rs. Dikaiosyne stehend n. l. Im Feld l. oben ⌊B
Bi. 22,5 mm, 13,447 g ↖
Landert. BMC 1615 var. Milne 2888. Curtis –.

180 2506 Vs. AKAIMAV[PCЄOVHPAΛЄϹANΔPOC‹ЄVCЄB›
Gewandbüste mit Lk. n. r. Sehr jugendliches Porträt.
Rs. Büste des Nilus mit Füllhorn n. r. Im Feld r. ⌊B
Bi. 23,6 mm, 13,064 g ↖
BMC 1668. Milne 2894. Curtis 1083.

224/225 (4)

181* 2507 Vs. AKAIMAVPCЄOVHPAΛЄϹANΔP[OCЄVCЄB] Büste mit Lk. n. r.
Rs. TETAPT M[AMЄA] CЄB Gewandbüste der Mamaea mit Diadem n. r.
Bz. 24,4 mm, 5,464 g. Ein Stück ausgebrochen. ↓
BMC 1715/16. Feuardent/Demetrio 2535. Milne –.

225/226 (5)

182 2792 Vs. AKAIMAVPCЄOVHPAΛЄϹANΔPOCЄVCЄB
Gewandbüste mit Lk. n. r.
Rs. LΠЄM ΠTOV Thronender Sarapis n. l. mit Kerberos.
Bi. 23,5 mm, 14,63 g ↓
Kricheldorf Liste 47, Nr. 161. Jb. 59/60. BMC 1662. Milne 2975. Curtis –.

231/232 (11)

183* 2619 Vs. AKAIMAPAVPCЄV AΛЄΞANΔ[POC]‹Є› Gewandbüste mit Lk. n. r.
Rs. Alexandria mit Sarapisbüste stehend n. l. Im Feld l. Palmzweig, r. ⌊IA
Bi. 22,2 mm, 12,267 g ↑
M&M Liste 60, Nr. 222. BMC –. Feuardent/Demetrio –. Dattari 4266 (?). Milne –. Curtis –, vgl. 1047.

233/234 (13)

184* 2875 Vs. AKAMPAVPCЄY [AΛ]ЄΞANΔPOC Paludamentbüste mit Lk. n. r.

Rs. Asklepios n. l. stehend, über brennendem Altar opfernd, in der R. Schlangenstab, r. Palmzweig. Im Feld l. vor dem Kopf ⌊ΙΓ
Bi. 22,3 mm, 11,81 g ↑
Aus Privatbesitz, Alexandria. BMC –. Dattari 4271. Milne 3137. Curtis 1050.

Iulia Mamaea

227/228 (7)

185 2968 Vs. IOVMAMЄA CЄ BAM[HTCTP] Gewandbüste mit Diadem n. r.
Rs. Elpis stehend n. l. Im Feld L Z
Bi. 25,0 mm, 12,616 g ↗
Landert. BMC –. Milne –. Curtis 1127.

230/231 (10)

186* 2793 Vs. IOVMAMAIACЄB MHTCЄBKCTPA Gewandbüste mit Diadem n. r.
Rs. Büste der Alexandria mit Mauerkrone n. r. Im Feld r. Palmzweig, l. ⌊I
Bi. 24,8 mm, 13,03 g ↑
M&M Liste 200, Nr. 51. Jb. 59/60. BMC –. Milne –. Curtis –.

231/232 (11)

187* 2794 Vs. IOVMAMAIC[ЄB MH]TЄCЄBKCTPA Gewandbüste mit Diadem n. r.
Rs. Büste der Selene n. r. Im Feld r. Mondsichel, l. unten ⌊IA
Bi. 24,0 mm, 13,335 g ↗
Kricheldorf Liste 47, Nr. 162. Jb. 59/60. BMC 1726. Milne var. zu 3053/54. Curtis 1137.

Maximinus Thrax

236/237 (3)

188* 2508 Vs. AVTOMAΞIMINOCЄVCЄB Paludamentbüste mit Lk. n. r.
Rs. Büste des Asklepios mit Lk. n. r., Mantel über der l. Schulter. Im Feld r. Schlangenstab, l. ⌊Γ
Bi. 25,0 mm, 12,18 g ↖
BMC 1782, Milne 3236. Curtis –.

189 2509 Vs. AVTOMAΞIMINOCЄVCCЄB Gewandbüste mit Lk. n. r.
Rs. Nilus gelagert n. l. mit Füllhorn. Im Feld l. ⌊Γ
Bi. 22,8 mm, 13,208 g ↖
BMC 1802. Milne 3254. Curtis –.

237/238 (4)

190 2510 Vs. AVTOMAΞIMINOCЄVCЄB Büste mit Lk. n. r.
Rs. Nilus gelagert n. l. mit Füllhorn. Im Feld l. |Δ
Bi. 21,8 mm, 9,125 g ↑
BMC 1803. Milne 3286. Curtis 1171.

Pupienus

238 (1)

191* 3105 Vs. AKΠKΛωΠOVΠIHNOCЄV[C] Gewandbüste mit Lk. n. r.
Rs. Adler stehend n. l., Kopf zurück, im Schnabel Kranz. Im Feld L A
Bi. 23,5 mm, 12,110 g ↖
Crippa 1966. BMC 1839 var. Dattari 4679 var. Milne –. Curtis –.

Balbinus

238 (1)

192* 3106 Vs. AKΔЄKKAIΛBAΛBINOCCЄ Paludamentbüste mit Lk. n. r.
Rs. Homonoia stehend n. l. Im Feld l. |A
Bi. 23,5 mm, 12,537 g ↖
Crippa 1966. BMC –. Milne 3309 var. Curtis 1218.

Gordianus III

240/241 (4)

193* 2969 Vs. AKMANΓOPΔIANOCЄVC Paludamentbüste mit Lk. n. r.
Rs. Stehender Adler n. l., Kopf n. r., Kranz im Schnabel. Im Feld L Δ
Bi. 23,8 mm, 12,403 g ↖
Landert. BMC –. Milne 3399. Curtis –.

241/242 (5)

194 2970 Vs. AKMANTΓOPΔIANOCЄVC Panzerbüste mit Lk. n. r.
Rs. Homonoia stehend n. l. Im Feld l. |Є
Bi. 22,5 mm, 12,725 g ↗
Landert. BMC 1877. Milne 3419. Curtis 1273.

242/243 (6)

195 2971 Vs. AKMANTΓOPΔIANOCЄVC Büste mit Lk. n. r.
Rs. Adler schreitend n. l., Kopf n. r., im Schnabel Kranz. Im Feld L S
Bi. 23,8 mm, 12,581 g ↖
Landert. BMC 1911. Milne 3459. Curtis 1260.

243/244 (7)

196 2972 Vs. AKMANTΓOP ΔIAN[OC]ЄV Gewandbüste mit Lk. n. r.
Rs. Fliegender Adler mit Kranz in den Krallen n. r. Im Feld L Z
Bi. 21,3 mm, 9,761 g ↖
Landert. BMC 1912 var. Milne 3497. Curtis –.

Tranquillina

242/243 (6)

197* 2512 Vs. CABTPANKVΛΛЄINACЄB Gewandbüste mit Diadem n. r.
Rs. Tyche stehend n. l. Im Feld oben |ς
Bi. 22,8 mm, 12,337 g ↖
M&M 1941. BMC 1826. Milne 3453. Curtis 1317.

Philippus Arabs

248/249 (6)

198 2513 Vs. AKMIOVΦIΛIΠΠOCЄV Panzerbüste mit Lk. n. r.
Rs. Adler mit offenen Flügeln stehend n. l., Kopf n. r., im Schnabel Kranz. Im Feld L ς
Bi. 23,9 mm, 13,392 g ↖
BMC 1997. Milne 3773. Curtis 1338.

Otacilia

246/247 (4)

199 2620 Vs. MϢTCЄOVHPACЄMCTPA Gewandbüste mit Diadem n. r.
Rs. Gewandbüste der Alexandria mit Mauerkrone nach l. Im Feld l. |Δ
Bi. 22,3 mm, 13,132 g ↖
M&M Liste 60, Nr. 223, BMC 2032. Milne 3680. Curtis X – 1374.

248/249 (6)

200* 2795 Vs. MϢTCЄOVH PACЄMCЄB Gewandbüste mit Diadem n. r.
Rs. Elpis stehend n. l. Im Feld L S
Bi. 24,0 mm, 12,89 g ↖
Kricheldorf Liste 47, Nr. 163. BMC 2013. Milne 3758. Curtis –.

Philippus Caesar

246/247 (4)

201* 2514 Vs. MIOVΦIΛIΠΠOCKCЄB Panzerbüste n. l.
Rs. Tyche thronend n. l. Im Feld l. oben |Δ
Bi. 24,0 mm, 13,32 g ↖
BMC 2048 var. Milne 3672. Curtis 1404.

Philippus II

248/249 (6)

202 2515 Vs. AKMIOVΦIΛIΠΠOCЄVC Panzerbüste von hinten gesehen, mit Lk. n. r.
Rs. Kopf des Zeus mit Mantel über l. Schulter n. r. Im Feld L S
Bi. 23,0 mm, 13,235 g ↖
BMC 2054. Milne 3745. Curtis 1407.

Traianus Decius

249/250 (1)

203 2621 Vs. AKΓM[TPA]IANOCΔЄKIOCЄ Paludamentbüste (?) mit Lk. n. r.
Rs. Nike fliegend n. r. mit Kranz und Palmzweig. Im Feld L A
Bi. 22,2 mm, 13,956 g ↖
M&M Liste 60, Nr. 224. BMC 2076. Milne 3798. Curtis –.

204 2973 Vs. AKΓMKTPAIANOCΔЄKIOC[ЄV] Büste mit Lk. n. r.
Rs. Alexandria stehend n. l. Im Feld L A
Bi. 23,5 mm, 11,231 g ↖
Landert. BMC 2082 var. Milne 3809. Curtis 1410.

Gallienus

255/256 (3)

205 2974 Vs. AKΠΛIOVΓAΛΛIHNOCЄVЄVC Paludamentbüste mit Lk. n. r.
Rs. Adler stehend mit offenen Flügeln n. l., Kopf n. r., im Schnabel Kranz. Im Feld L Γ
Bi. 22,5 mm, 9,638 g ↖
Landert. BMC 2218. Milne 3917. Curtis 1530.

256/257 (4)

206 2516 Vs. AKΠΛIOVΓAΛΛIHNOCЄVЄVC Panzerbüste mit Lk. n. r.
Rs. Homonoia stehend n. l. Im Feld L Δ
Bi. 23,6 mm, 9,677 g ↖
BMC 2182 var. Milne 3928. Curtis –.

207 2975 Vs. AKΠΛIOVΓAΛΛIHNOCЄVЄVC Paludamentbüste mit Lk. n. r.
Rs. Adler stehend n. l. mit Kranz im Schnabel. Kopf n. r. Im Feld L Δ
Bi. 22,2 mm, 9,969 g ↖
Landert. BMC 2219. Milne 3960. Curtis –.

257/258 (5)

208 2976 Vs. ΑΚΠΛΙΟΥΓΑΛΛΙΗΝΟϹϵΥϵΥϹ Paludamentbüste mit Lk. n. r.
Rs. Adler stehend n. l., Kopf n. r., Kranz im Schnabel. Im Feld L ϵ
Bi. 22,1 mm, 11,608 g ↖
Landert. BMC 2220. Milne 3985. Curtis –.

258/259 (6)

209 2522 Vs. ΑΚΠΛΙΟΥΓΑΛΛΙΑΝΟϹϵΥϹϵΥϹ Paludamentbüste mit Lk. n. r.
Rs. Adler stehend n. l., Kopf n. r., im Schnabel Kranz. Im Feld L S
Bi. 22,3 mm, 12,552 g ↑
BMC 2221. Milne 4007. Curtis 1527.

259/260 (7)

210 2977 Vs. ΑΚΠΛΙΟΥΓΑΛΛΙΑΝΟϹϵΥϵΥϹ Paludamentbüste mit Lk. n. r.
Rs. Adler stehend n. l., Kopf n. r., Kranz im Schnabel. Im Feld L Z
Bi. 22,4 mm, 10,611 g ↖
Landert. BMC 2222. Milne 4040. Curtis 1528.

261/262 (9)

211 2521 Vs. ΑΥΤΚΠΛΙΚΓΑΛΛΙΗΝΟϹϹϵΒ Panzerbüste mit Lk. n. r.
Rs. ϵΝΑΤΟΥ Adler stehend n. l. mit Palmzweig, im Schnabel l. Kranz. Im Feld r. L
Bi. 23,2 mm, 11,742 g ↖
BMC 2235. Milne 4070. Curtis 1582.

263/64 (11)

212* 2978 Vs. ΑΥΤΚΠΛΙΚΓΑΛΛΙΗΝΟϹϹϵΒ Gewandbüste mit Lk. n. r.
Rs. Gewandbüste des Helios n. r. Im Feld L I A
23,5 mm, 10,555 g ↖
Landert. BMC 2157, Milne 4086. Curtis 1599.

213 2520 Vs. ΑΥΤΚΠΛΙΚΓΑΛΛΙΗΝΟϹϹϵΒ Gewandbüste mit Lk. n. r.
Rs. Tyche stehend n. l. Im Feld r. A Ψ
Bi. 24,1 mm, 9,795 g ↖
BMC 2200, Milne 4092. Curtis 1624.

214* 2876 Vs. ΑΥΤΟΚΠΛΙΚΓΑΛΛΙΗΝΟϹϹϵΒ Büste n. r., Panzer und Paludamentum von hinten gesehen, Lk., kurzes Haar, Perlkr.
Rs. Adler mit Kranz im Schnabel n. r. Im Feld r. L IA
Bi. 23,2 mm, 9,905 ↗
Aus Privatbesitz, Alexandria. Jb. 61/62. BMC 2234. Dattari 5289. Milne 4095.

264/265 (12)

215 2979 Vs. AVTKΠΛIKΓAΛΛIHNOCCЄB Panzerbüste mit Lk. n. r.
Rs. Adler stehend n. r. mit umgewendetem Kopf und offenen Flügeln, hält Kranz. Im Kranz |IB
Bi. 22,5 mm, 10,283 g ↖
Landert. BMC 2231. Milne 4110. Curtis 1596.

265/266 (13)

216 2980 Vs. AVTKΠΛIKΓAΛΛIHNOCCЄB Paludamentbüste mit Lk. n. r.
Rs. Adler stehend n. r. mit Kranz im Schnabel, hinten Palmzweig.
Im Feld L IΓ
Bi. 23,4 mm, 10,103 g ↖
Landert. BMC 2236. Milne 4120. Curtis 1588.

217 2981 Vs. AVTKΠΛIKΓA[ΛΛIHNOCC]ЄB Panzerbüste (?) mit Lk. n. r.
Im Feld L IΓ
Rs. Adler stehend n. r. mit Kranz im Schnabel, hinten Palmzweig.
Bi. 22,8 mm, 9,590 g ↖
Landert. Vs. sehr schlecht erhalten. Zur Bestimmung vgl. BMC 2236. Milne 4120. Curtis 1588.

266/267 (14)

218 2984 Vs. AV[TK]ΠΛIKΓAΛΛIHNOCCЄB Panzerbüste (?) mit Lk. n. r.
Rs. Thronende Athena n. l., mit Nike. Im Feld r. Palmzweig, l. I |Δ
Bi. 22,6 mm, 8,511 g ↖
Landert. BMC 2170. Milne 4129. Curtis 1576.

219 2517 Vs. AVTKΠΛIKΓAΛΛIHNOCCЄB Büste mit Lk. n. r.
Rs. Homonoia stehend n. l. Im Feld r. Palmzweig, l. |IΔ
Bi. 22,7 mm, 8,952 g ↖
BMC 2186. Milne 4136. Curtis –.

220 2519 Vs. AVTKΠΛIKΓAΛΛIHNOCCЄB Panzerbüste mit Lk. n. r.
Rs. Nike mit Kranz und Palmzweig fliegend n. r. Im Feld r. |IΔ
Bi. 22,2 mm, 10,145 g ↑
BMC 2196. Milne 4137. Curtis 1608.

221 2983 Vs. AVTKΠΛIKΓAΛΛIHN[OC]CЄB Panzerbüste mit Lk. n. r.
Rs. Adler stehend n. l. mit Kranz im Schnabel, Kopf n. r. Im Feld r. Palmzweig, l. |Δ
Bi. 21,9 mm, 8,419 g ↖
Landert. BMC 2227. Milne 4145. Curtis 1591.

222 2982 Vs. [AV]TKΠΛIKΓAΛΛIHNOC[CЄB] Kopf mit Lk. n. r.
Rs. Adler mit Kranz im Schnabel stehend n. l. Kopf n. r. Im Feld r. Palmzweig, l. L I Δ
Bi. 21,4 mm, 10,442 g ↖
Landert. BMC 2228. Milne 4148. Curtis 1589.

267/268 (15)

223 2985 Vs. AVTKΠΛIK[ΓAΛΛIHNOC]CЄB Büste mit Lk. n. r.
Rs. Gewandbüste des Helios n. r. Im Feld L IЄ, r. Palmzweig.
Bi. 22,5 mm, 7,935 g ↖
Landert. BMC 2629. Milne 4156. Curtis –.

224 2518 Vs. AVTKΠΛIKΓAΛΛIHNOCCЄB Büste mit Lk. n. r.
Rs. Homonoia stehend n. l. Im Feld r. Palmzweig, l. I L Є
Bi. 22,4 mm, 8,292 g ↑
BMC 2187. Milne 4167. Curtis 1605.

225* 2989 Vs. AVTKΠΛIKΓAΛΛIHNOCCЄB Büste mit Lk. n. r.
Rs. Büste des Sarapis mit Modius n. r., r. Palmzweig. Im Feld [I L Є]
Bi. 21,7 mm, 7,551 g ↖
Landert. BMC 2210, Milne 4171. Curtis 1615.

226 2988 Vs. AVTKΠΛIKΓAΛΛIHNOCCЄB Panzerbüste mit Lk. n. r.
Rs. Adler stehend n. r. mit Kranz im Schnabel, Kopf n. l.
Im Feld l. Palmzweig, r. L I Є
Bi. 22,6 mm, 10,126 g ↖
Landert. BMC 2230. Milne 4176. Curtis 1592.

227 2986 Vs. AVTKΠΛIKΓAΛΛIHNOCCЄB Panzerbüste mit Lk. n. r.
Rs. Adler stehend n. r. mit Kranz im Schnabel, Kopf n. l.
Im Feld l. Palmzweig, r. I Є L
Bi. 22,2 mm, 7,937 g ↖
Landert. BMC 2230. Milne 4176. Curtis 1592.

228 2523 Vs. AVTKΠΛIKΓAΛΛIHNOCCЄB Panzerbüste (?) mit Lk. n. r.
Rs. Adler stehend n. r. mit Kranz im Schnabel, Kopf n. l. Im Feld l. Palmzweig, r. L I Є
Bi. 21,6 mm, 9,768 g ↑
BMC 2230. Milne 4178. Curtis –.

229 2987 Vs. AVTK[ΠΛI]KΓAΛΛIHNOCCЄB Paludamentbüste mit Lk. n. r.
Rs. Adler stehend n. r. mit Kranz im Schnabel, Kopf n. l.
Im Feld r. Palmzweig, l. L IЄ
Bi. 22,5 mm, 10,871 g ↖
Landert. BMC 2229. Milne 4181. Curtis –.

Salonina

257/258 (5)

230 2796 Vs. KOPNHΛIACAΛΩNЄINACЄB Gewandbüste mit Diadem n. r.
Rs. Adler stehend n. l. mit Kranz im Schnabel, Kopf n. r. Im Feld L Є
Bi. 23,2 mm, 10,305 g ↖
Kricheldorf Liste 47, Nr. 168. Jb. 59/60. BMC 2273. Milne 3987. Curtis –.

259/260 (7)

231 2990 Vs. KOPNHΛIACAΛΩNEINACЄB Gewandbüste mit Diadem n. r.
Rs. Alexandria mit Sarapisbüste stehend n. l. Im Feld L Z
Bi. 23,4 mm, 12,966 g ↗
Landert. BMC –. Milne 4029. Curtis 1538.

263/264 (11)

232 2524 Vs. KOPNHΛIACAΛΩNЄINACЄB Gewandbüste mit Diadem n. r.
Rs. Dikaiosyne sitzend n. l. Im Feld oben l. L IA
Bi. 22,8 mm, 9,28 g ↖
BMC 2248. Milne 4087. Curtis 1630.

233* 2877 Vs. KOPNHΛIACAΛΩNEINACЄB Gewandbüste mit Diadem n. r.
Rs. Homonoia n. l. auf lehnenlosem Sessel, Rechte erhoben, im l. Arm Doppelfüllhorn; im Feld l. L IA
Bi. 21,8 mm, 9,775 g ↑
BMC 2258, Thron mit Lehne. Milne 4091 var. Curtis –.

264/265 (12)

234 2797 Vs. KOPNHΛIACAΛΩNЄINACЄB Gewandbüste mit Diadem n. r.
Rs. Eirene stehend n. l. Im Feld l. Palmzweig, r. IB L
Bi. 22,8 mm, 9,34 g ↑
Kricheldorf Liste 47, Nr. 164. BMC 2250. Milne 4103. Curtis 1647.

235 2842 Vs. KOPNHΛIACAΛΩNЄINACЄB Gewandbüste wie 234, etwas größer.
Rs. Eirene wie 234. Im Feld l. Palmzweig, r. IB
Bi. 23,5 mm, 10,125 g ↑
Kricheldorf Liste 65, Nr. 539. Wie 234, nicht stempelgleich.

236 2525 Vs. KOPNHΛIACAΛΩNЄINACЄB Gewandbüste mit Diadem n. r.
Rs. Elpis stehend n. l. Im Feld l. Palmzweig, r. IB
Bi. 24,6 mm, 8,975 g ↑
M&M 1941. BMC 2251. Milne 4106. Curtis –.

265/266 (13)

237 2991 Vs. KOPNHΛIACAΛΩNINA[CЄ]B Gewandbüste mit Diadem n. r.
Rs. Dikaiosyne stehend n. l. Im Feld r. Palmzweig, l. oben IΓ
Bi. 22,8 mm, 8,847 g ↑
Landert. BMC 2246. Milne 4113. Curtis 1633.

238 2527 Vs. KOPNHΛIACAΛΩNЄINACЄB Gewandbüste mit Diadem n. r.
Rs. Nike fliegend n. r. mit Kranz und Palmzweig. Im Feld r. IΓ
Bi. 23,7 mm, 9,475 g ↖
BMC 2261. Milne 4118. Curtis –.

266/267 (14)

239 2526 Vs. KOPNHΛIA[CAΛΩ]NЄINACЄB Gewandbüste mit Diadem n. r.
Rs. Elpis stehend n. l. Im Feld r. IΔ
Bi. 23,5 mm, 10,272 g ↗
BMC 2252. Milne 4130. Curtis 1651.

240 2528 Vs. KOPNHΛIACAΛΩNЄINACЄB Gewandbüste mit Diadem n. r.
Rs. Tyche stehend n. l. Im Feld l. oben IΔ
Bi. 23,4 mm, 8,27 g ↑
BMC 2263. Milne 4139. Curtis –.

241 2530 Vs. KOPNHΛIACAΛΩNЄINACЄB Gewandbüste mit Diadem n. r.
Rs. Adler mit offenen Flügeln stehend n. l., im Schnabel Kranz.
Im Feld l. IΔ
Bi. 23,1 mm, 9,95 g ↑
BMC 2278. Milne 4151. Curtis 1640.

267/268 (15)

242* 2798 Vs. KOPNHΛIACAΛωNЄINACЄB Gewandbüste mit Diadem n. r.
Rs. Elpis stehend n. l. Im Feld l. Palmzweig, r. I Є L
Bi. 23,8 mm, 12,21 g ↑
Kricheldorf Liste 47, Nr. 165. Jb. 59/60. BMC 2254. Milne 4163. Curtis –.

243 2529 Vs. KOPNHΛIACAΛωNЄINACЄB Gewandbüste mit Diadem n. r.
Rs. Adler stehend n. l. mit Palmzweig, im Schnabel Kranz. Im Feld L I Є
Bi. 21,6 mm, 9,815 g ↑
BMC 2281. Milne 4182. Curtis 1638.

Valerianus Caesar

256/257 (4)

244* 3107 Vs. ΠΛIKKOPOVAΛЄPIANOCKAICCЄB Gewandbüste n. r.
Rs. Homonoia stehend n. l. Im Feld L Δ
Bi. 23,4 mm, 10,046 g ↖
Crippa 1966. BMC 2284. Milne 3930. Curtis 1548.

257/258 (5)

245* 2841 Vs. ΠΛIKKOPOVAΛЄPIANOCKAICCЄB Paludamentbüste n. r.
Rs. Tyche stehend n. l. Im Feld L Є
Bi. 23,7 mm, 12,65 g ↖
Kricheldorf Liste 61, Nr. 540. Jb. 61/62. BMC –. Milne 3974. Curtis –.

Macrianus

260/261 (1)

246* 3108 Vs. AKTΦIOVNMAKPIANOCЄCЄB Panzerbüste mit Lk. n. r.
Rs. Adler mit offenen Flügeln stehend n. l., im Schnabel Kranz.
Im Feld l. L A
Bi. 22,2 mm, 11,001 g ↗
Crippa 1966. BMC 2301. Milne 4056. Curtis 1559.

Quietus

260/261 (1)

247* 2992 Vs. AKTΦIOVNKOVHTOCЄCЄB Gewandbüste mit Lk. n. r.
Rs. Adler stehend n. l. mit offenen Flügeln und Kranz im Schnabel.
L. im Feld L A
Bi. 22,0 mm, 10,608 g ↖
Landert. BMC 2305. Milne 4058. Curtis 1568.

Claudius Gothicus

268 (1)

248 2536 Vs. AVTKKΛAVΔIOCCЄB Panzerbüste mit Lk. n. r.
Rs. Adler stehend n. r., Kopf n. l., im Schnabel Kranz. Im Feld r. |A
Bi. 22,3 mm, 10,0 g ↖
BMC 2331. Milne 4202. Curtis 1670.

268/269 (2)

249 2995 Vs. AVTKKΛAV ΔIOCCЄB Paludamentbüste mit Lk. n. r.
Rs. Elpis stehend n. l. Im Feld L B
Bi. 21,66 mm, 7,515 g ↖
Landert. BMC 2318. Milne 4227. Curtis 1698.

250 2532 Vs. AVTKKΛAV ΔIOCCЄB Paludamentbüste mit Lk. n. r.
Rs. Elpis wie 249. Im Feld L B
Bi. 21,0 mm, 9,935 g ↖
Wie 249, nicht stempelgleich.

251 2993 Vs. AVTKKΛA VΔIOCCЄB Büste mit Lk. n. r.
Rs. Dikaiosyne sitzend n. l. Im Feld l. oben |B
Bi. 19,8 mm, 8,688 g ↑
Landert. BMC 2316. Milne 4234. Curtis 1665.

252 2531 Vs. A̤V̤T̤K̤K̤ΛA VΔIOCCЄB Paludamentbüste (?) mit Lk. n. r.
Rs. Dikaiosyne wie 251. Im Feld l. oben |B
Bi. 20,7 mm, 11,0 g ↖
Wie 251, nicht stempelgleich.

253 2533 Vs. AVTKKΛA VΔIOCCЄB Panzerbüste (?) mit Lk. n. r.
Rs. Nike fliegend n. r. mit Kranz und Palmzweig. Im Feld r. |B
Bi. 21,3 mm, 9,83 g ↑
BMC 2322. Milne 4235. Curtis 1711.

254 2998 Vs. [AV]TKKΛAV ΔIOCCЄB Paludamentbüste (?) mit Lk. n. r.
Rs. Nike mit Kranz und Palmzweig schreitend n. r. Im Feld L B
Bi. 20,9 mm, 8,684 g ↖
Landert. BMC 2322 var. Milne 4237. Curtis 1708.

255 2534 Vs. AVTKKΛA VΔIOCCЄB Panzerbüste mit Lk. n. r.
Rs. Nike mit Kranz und Palmzweig fliegend n. l. Im Feld l. |B
Bi. 20,9 mm, 7,93 g ↑
BMC 2323. Milne 4238. Curtis –.

256 2535 Vs. AVTKKΛA VΔIOCCЄB Panzerbüste mit Lk. n. r.
Rs. Büste des Hermanubis mit Modius, Lotuskranz und Chlamys n. r.
Im Feld r. Kerykeion, darüber Palmzweig, l. ⌊B (groß)
Bi. 20,6 mm, 10,2 g ↖
BMC 2327. Milne 4240. Curtis 1701.

257* 2997 Vs. AVTKKΛA VΔIOCCЄB Panzerbüste mit Lk. n. r.
Rs. Wie 256, Büste etwas größer, l. ⌊B (groß)
Bi. 20,9 mm, 9,675 g ↖
Landert. Wie 256.

258 2996 Vs. AVTKKΛA VΔIOCCЄB Panzerbüste mit Lk. n. r.
Rs. Wie 256 f., Büste noch größer, l. ⌊B (klein)
Bi. 22,0 mm, 10,758 g ↖
Landert. Wie 256.

259 2540 Vs. AVTKKΛAV ΔIOCCЄB Gewandbüste mit Lk. n. r.
Rs. Adler stehend n. r. mit Kranz und Palmzweig. Im Feld L B
Bi. 22,1 mm, 11,562 g ↑
BMC 2335. Milne 4246. Curtis 1686.

260 2543 Vs. AVTKKΛAV ΔIOCCЄB Gewandbüste mit Lk. n. r.
Rs. Adler wie 259. L B
Bi. 21,8 mm, 10,768 g ↑
Wie 259, nicht stempelgleich, Schrift etwas kleiner.

261 2994 Vs. AVTKKΛA VΔIOCCЄB Panzerbüste mit Lk. n. r.
Rs. Adler stehend n. l. mit Kranz im Schnabel, Kopf n. r. Im Feld L B
Bi. 21,2 mm, 9,456 g ↖
Landert. BMC 2333. Milne 4248. Curtis 1683.

262 2538 Vs. AVTKKΛA VΔIOCCЄB Panzerbüste mit Lk. n. r.
Rs. Adler wie 261. L B
Bi. 22,3 mm, 9,925 g ↖
Wie 261, nicht stempelgleich.

263 2537 Vs. AVTKKΛAV ΔIOCCЄB Gewandbüste mit Lk. n. r.
Rs. Adler stehend n. r., Kopf n. l., im Schnabel Kranz. Im Feld L B
Bi. 20,8 mm, 8,634 g ↖
M&M Liste 60, Nr. 227. BMC 2332. Milne 4249. Curtis 1676.

269/270 (3)

264 2539 Vs. AVTKKΛAV ΔIOCCЄB Gewandbüste mit Lk. n. r.
Rs. Adler stehend n. r., Kopf n. l., im Schnabel Kranz. Im Feld L Γ
Bi. 23,3 mm, 10,29 g ↑
BMC 2334. Milne 4287. Curtis 1695.

265 2541 Vs. AVTKKΛAV ΔIOCCЄB Gewandbüste mit Lk. n. r.
Rs. Adler stehend n. r. mit Kranz und Palmzweig. Im Feld L Γ
Bi. 23,5 mm, 10,18 g ↖
BMC 2336. Milne 4991. Curtis 1687.

266 2542 Vs. AVTKKΛAV ΔIOCCЄB Gewandbüste mit Lk. n. r.
Rs. Adler wie 265. L Γ
Bi. 22,6 mm, 9,745 g ↖
Wie 265, nicht stempelgleich.

Quintillus

270 (1)

267* 2999 Vs. AKMAKΛKVIN TIΛΛOCCЄB Paludamentbüste mit Lk. n. r.
Rs. Adler stehend n. r. mit Kranz im Schnabel, Kopf n. l. Im Feld L A
Bi. 21,7 mm, 11,156 g ↖
Landert. BMC 2337. Milne 4296. Curtis 1725.

268 3000 Vs. AKMAKΛKVIN TIΛΛOCCЄB Paludamentbüste mit Lk. n. r.
Rs. Adler mit Kranz im Schnabel stehend n. r. Hinten Palmzweig.
Im Feld L A
Bi. 21,5 mm, 8,966 g ↖
Landert. BMC 2338. Milne 4298. Curtis 1729.

Aurelianus

270 (1)

269 2544 Vs. AKΛΔOMAVPH ΛIANOCCЄB Paludamentbüste mit Lk. n. r.
Rs. Adler stehend n. r., Kopf n. l., im Schnabel Kranz. Im Feld L A
Bi. 20,1 mm, 10,59 g ↑
BMC 2354. Milne 4299. Curtis 1733.

270 3001 Vs. AKΛΔOMAVPH ΛIANOCCЄB Paludamentbüste mit Lk. n. r.
Rs. Adler stehend n. r. mit Kranz im Schnabel, hinten Palmzweig.
Im Feld L A
Bi. 22,2 mm, 8,635 g ↑
Landert. BMC 2367. Milne 4301. Curtis 1734.

270/271 (2)

271 3002 Vs. [AVTKΛΔAVP]HΛIANOCCЄB Panzerbüste mit Lk. n. r.
Rs. Alexandria stehend n. l. mit Sarapisbüste. Im Feld L B
Bi. 21,4 mm, 7,241 g ↖
Landert. BMC –. Milne 4355. Curtis –.

271/272 (3)

272 3014 Vs. AKΛΔOMAVPHΛIANOCCЄB Paludamentbüste mit Lk. n. r.
Rs. Nike fliegend n. r. mit Kranz und Palmzweig. Im Feld L Γ
Bi. 20,4 mm, 9,249 g ↖
Landert. BMC 2350. Milne 4362. Curtis –.

273 3003 Vs. AVTKΛΔAVPHΛIANOCCЄB Panzerbüste mit Lk. n. r.
Rs.Alexandria stehend n. l. mit Sarapisbüste und Zepter.
Im Feld l. [L] Γ
Bi. 21,8 mm, 7,054 g ↑
Landert. BMC 2352 var. Milne 4364. Curtis 1755.

274 2546 Vs. AV[TKΛΔAV]PH ΛIANOCCЄB Panzerbüste mit Lk. n. r.
Rs. Adler stehend n. l., Kopf n. r., im Schnabel Kranz. Im Feld L Γ
Bi. 21,8 mm, 7,52 g ↖
BMC 2357 var. Milne 4367. Curtis 1766.

272/273 (4)

275 3011 Vs. [AVTKΛ]ΔAVPHΛIANOCCЄB Büste mit Lk. n. r.
Rs. Homonoia stehend n. l. L. im Feld ⌊Δ
Bi. 20,7 mm, 8,751 g ↗
Landert. BMC 2348. Milne 4376. Curtis X – 1799.

276 3009 AKΛΔOMAVPHΛIANOCCЄB Panzerbüste mit Lk. n. r.
Rs. Stehender Adler n. r. mit offenen Flügeln, Kranz im Schnabel.
Im Feld l. oben *, r. ⌊Δ
Bi. 20,7 mm, 8,048 g ↖
Landert. BMC – vgl. 2364. Milne 4390. Curtis –.

277 2545 Vs. AVTKΛΔAVPHΛIANOCCЄB Gewandbüste (?) mit Lk. n. r.
Rs. Adler stehend mit offenen Flügeln zwischen zwei Vexilla, Kopf mit Kranz im Schnabel n. r. Im Feld oben L Δ
Bi. 19,3 mm, 8,58 g ↑
BMC 2371. Milne 4391. Curtis 1789.

278 3010 Vs. AKΛΔOMAVPHΛIANOCCЄB Panzerbüste mit Lk. n. r.
Rs. Adler stehend mit offenen Flügeln zwischen zwei Vexilla, Kopf mit Kranz n. r., über dem l. Flügel *. Über dem Adler L Δ
Bi. 20,6 mm, 8,340 g ↑
Landert. BMC 2370 var. Milne 4394. Curtis 1785.

279 3006 Vs. AKΛΔOMAVPHΛIANOCCЄB Panzerbüste mit Lk. n. r.
Rs. Fliegender Adler n. r. mit Kranz in den Krallen, Kopf n. l.
Im Feld r. ⌊Δ
Bi. 22,5 mm, 8,238 g ↗
Landert. BMC 2366. Milne 4398. Curtis 1759.

273/274 (5)

280 3016 Vs. A[K]ΛΔOMAVPHΛIANOCCЄB Panzerbüste (?) mit Lk. n. r.
Rs. ЄTOVC Nike fliegend n. r. mit Kranz und Palmzweig.
Im Feld r. Є
Bi. 20,5 mm, 7,502 g ↖
Landert. BMC –. Milne 4411. Curtis –.

281 2547 Vs. AKΛΔOMAVPHΛIANOCCЄB Panzerbüste mit Lk. n. r.
Rs. ЄTOVC Adler stehend n. l., Kopf n. r., im Schnabel Kranz.
Im Feld r. Є
Bi. 21,6 mm, 9,755 g ↖
BMC –, vgl. 2359. Milne 4418. Curtis –.

282 3007 Vs. AKΛΔOMAV[PHIANOCC]ЄB Panzerbüste mit Lk. n. r.
Rs. ЄTOVC Adler stehend n. l., Kopf n. r., im Schnabel Kranz.
Im Feld r. Є l. oben *
Bi. 20,5 mm, 6,177 g ↖
Landert. BMC –, vgl. 2359. Milne 4423. Curtis 1770.

283 2548 Vs. AKΛΔOMAVPHΛIANOCCЄB Panzerbüste mit Lk. n. r.
Rs. ЄTOVC Adler mit offenen Flügeln stehend n. l., Kopf n. r., im Schnabel Kranz. Im Feld r. Є
Bi. 22,9 mm, 9,68 g ↖
BMC –, vgl. 2360. Milne 4426. Curtis 1781.

284 3013 Vs. AKΛΔOMAVPHΛIANOCCЄB Panzerbüste mit Lk. n. r.
Rs. Kranz, in der Mitte Є
Bi. 19,8 mm, 8,738 g ↖
Landert. BMC 2373. Milne 4434. Curtis 1813.

285 3012 Vs. AKΛΔOMAVPHΛIANOCCЄB Panzerbüste mit Lk. n. r.
Rs. Kranz, in der Mitte ЄTOVC / Є
Bi. 22,5 mm, 8,141 g ↖
Landert. BMC 2372. Milne 4435. Curtis 1810.

274/275 (6)

286 3004 Vs. AKΛΔOMAVPHΛIANOCCЄB Panzerbüste mit Lk. n. r.
Rs. ЄTOVC Dikaiosyne stehend n. l. Im Feld r. S
Bi. 21,6 mm, 7,048 g ↗
Landert. BMC –. Milne 4438. Curtis 1758.

287 2549 Vs. AKΛΔOMAVPHΛIANOCCЄ[B] Panzerbüste mit Lk. n. r.
Rs. ЄTOVC Adler stehend n. r. mit Kranz und Palmzweig.
Im Feld r. S
Bi. 19,6 mm, 5,909 g ↖
BMC 2369. Milne 4448. Curtis 1775.

288 2550 Vs. AKΛΔOMAVPHΛIANOCCЄB Panzerbüste mit Lk. n. r.
Rs. ЄTOVC Adler stehend n. l., Kopf n. r., im Schnabel Kranz.
Im Feld r. S
Bi. 20,1 mm, 6,80 g ↖
BMC –. Milne 4457, Curtis 1773.

289 3008 Vs. AKΛΔOMAVPHΛIANOCCЄB Panzerbüste mit Lk. n. r.
Rs. Wie 288.
Bi. 20,1 mm, 7,084 g ↖
Landert. Wie 288, nicht stempelgleich.

275 (7)

290 3005 Vs. AKΛΔOMAVPHΛIAN[OCCЄB] Panzerbüste mit Lk. n. r.
Rs. Dikaiosyne stehend n. l. Im Feld ЄTOVC Z
Bi.21,1 mm, 7,115 g ↖
Landert. BMC 2347. Milne 4469. Curtis –.

291* 3015 Vs. AKΛΔOMAVPHΛIANOCCЄB Panzerbüste mit Lk. n. r.
Rs. ЄTOVC Nike fliegend n. r. mit Kranz und Palmzweig.
Im Feld r. Z
Bi. 20,8 mm, 6,937 g ↖
Landert. BMC –. Milne 4476. Curtis –.

Aurelianus - Vaballathus (Gemeinschaftsprägung)

269 (1–4)

292* 3021 Vs. AVTKΛΔAVPHΛIANOCCЄB Paludamentbüste des Aurelianus mit Lk. n. r. Im Feld L A
Rs. IACOVABAΛΛAΘOCAΘHNOV[AVTCTPϢ] Paludamentbüste des Vaballathus mit Lk. und Diadem n. r.
Bi. 20,5 mm, 8,926 g ↖
Landert. BMC –. Milne 4303 var. Curtis –.

293 3022 Vs. [AVT]KΛΔAVPHΛIANOCCЄB Paludamentbüste mit Lk. n. r.
Im Feld L A
Rs. IACOVABAΛΛAΘOCAΘHNOV[AVTCTPϢ] Paludamentbüste mit Lk. und Diadem n. r.
Bi. 22,1 mm, 7,286 g ↖
Landert. Wie 293, nicht stempelgleich.

294 3023 Vs. AVTKΛΔAVPHΛIANOCCЄB Paludamentbüste mit Lk. n. r. Im Feld L A
Rs. IACOVABAΛΛAΘOCAΘHNOVAVTCTPω Paludamentbüste mit Lk. und Diadem n. r. Im Feld L Δ
Bi. 20,6 mm, 9,684 g ↖
Landert. BMC 2386. Milne 4308. Curtis 1738.

295 2551 Vs. AVTKΛΔAVPHΛIANOCCЄB Paludamentbüste mit Lk. n. r. Im Feld L A
Rs. IACOVABAΛΛAΘOCAΘHNOVAVTCTPω Paludamentbüste mit Lk. und Diadem n. r. Im Feld L Δ
Bi. 21,2 mm, 9,04 g ↖
Wie 294, nicht stempelgleich.

296 2552 Vs. AVTKΛΔAVPHΛIANOCCЄB Paludamentbüste mit Lk. n. r. Im Feld L A
Rs. IACOVABAΛΛAΘOCAΘHNOVAVTCTPω Paludamentbüste mit Lk. und Diadem n. r. Im Feld L Δ
Bi. 19,7 mm, 9,735 g ↑
Wie 294, nicht stempelgleich.

297 3017 Vs. AKΛΔOMAVPHΛIANOCCЄB Paludamentbüste mit Lk. n. r. Im Feld L A
Rs. IACOVABAΛΛAΘOCAΘHNVACP Paludamentbüste mit Lk. und Diadem n. r. Im Feld L Δ
Bi. 22,2 mm, 10,465 g ↖
Landert. BMC 2384. Milne 4319. Curtis 1735.

270/271 (2–5)

298 2553 Vs. AVTKΛΔAVPHΛIANOCCЄB Paludamentbüste mit Lk. n. r. Im Feld L B
Rs. IACOVABAΛΛAΘOCA[ΘHNOVAVTCP]ω Paludamentbüste von hinten gesehen, mit Lk. und Diadem n. r. Im Feld L Є
Bi. 21,0 mm, 8,065 g ↑
BMC 2392. Milne 4330. Curtis 1746.

299 2554 Vs. AVTKΛΛAVPHΛIANOCCЄB Paludamentbüste mit Lk. n. r. Im Feld L B
Rs. IACOVABAΛΛAΘOCAΘHNOVAVTCPω Paludamentbüste von hinten gesehen, mit Lk. und Diadem n. r. Im Feld L Є
Bi. 21,0 mm, 9,507 g ↖
M&M Liste 60, Nr. 228. BMC 2390. Milne 4331. Curtis 1747.

300 3020 Vs. AVTKΛΔAVPHΛIANOCCЄB Paludamentbüste mit Lk. n. r. Im Feld L B
Rs. IACOVABAΛΛAΘOC[AΘHNOVAVTCPϢ] Paludamentbüste wie 299. L Є
Bi. 20,44 mm, 8,310 g ↗
Landert. Wie 299, nicht stempelgleich.

301 3018 Vs. AKΛΔOMAVPH ΛIANOCCЄB Im Feld r. L B. Paludamentbüste mit Lk. n. r.
Rs. [IAC]OVABAΛΛAΘOCAΘHNVAVP Paludamentbüste mit Lk. und Diadem n. r. Im Feld L Є
Bi. 21,5 mm, 11,052 g ↖
Landert. BMC 2387. Milne 4333. Curtis 1744.

302 3019 Vs. AKΛΔOMAVPHΛIANOCCЄB Paludamentbüste mit Lk. Im Feld r. L B
Rs. IACOVABAΛΛAΘOCAΘHNVACP Paludamentbüste mit Lk. und Diadem n. r. Im Feld L Є
Bi. 22,4 mm, 10,388 g ↖
Landert. BMC 2388. Milne 4334. Curtis 1743.

Vaballathus

270/271 (5)

303* 3024 Vs. AVTKOVABAΛΛAΘOCA[ΘHNOCЄB] Gewandbüste mit Lk. n. r.
Rs. Gewandbüste des Helios n. r. Im Feld L Є
Bi. 21,2 mm, 9,196 g ↖
Landert. BMC –. Milne 4349. Curtis X– 1749.

Severina

274/275 (6)

304* 2843 Vs. OVΛΠ · CЄVH PINA·CЄB Gewandbüste mit Diadem n. r.
Rs. ЄTOVC Elpis stehend n. l. Im Feld r. S
Bi. 20,5 mm, 8,35 g ↖
Kricheldorf Liste 59, Nr. 195. Jb. 61/62. BMC 2377. Milne 4442. Curtis –.

305 3025 Vs. OVΛΠ· CЄVH PINA·CЄB Gewandbüste mit Diadem n. r.
Rs. ЄTOVC Stehender Adler n. l., Kopf mit Kranz im Schnabel n. r. Im Feld r. S
Bi. 20,1 mm, 7,202 g ↖
Landert. BMC 2380. Milne 4464. Curtis 1820.

275/276 (7)

306 3026 Vs. OVΛΠ·CЄVH PINA·CЄB Gewandbüste mit Diadem n. r.
Rs. ЄTOVC Adler stehend n. l., Kopf mit Kranz im Schnabel n. r.
Im Feld r. Z
Bi. 20,6 mm, 7,840 g ↑
Landert. BMC 2381. Milne 4484. Curtis 1822.

Tacitus

275/276 (1)

307* 2555 Vs. AKKΛTAKI TOCCЄB Gewandbüste mit Lk. n. r.
Rs. ЄTOVC Elpis stehend n. l. Im Feld r. A
Bi. 20,7 mm, 9,658 g ↖
BMC 2403. Milne 4495. Curtis 1840.

308 3029 Vs. AK·KΛ·TAKITOCCЄB Gewandbüste mit Lk. n. r.
Rs. ЄTOVC Nike fliegend n. r. mit Kranz und Palmzweig.
Im Feld r. A
Bi. 22,9 mm, 8,115 g ↖
Landert. BMC 2405. Milne 4498. Curtis –.

309 3028 Vs. AKKΛTAKITOCCЄB Panzerbüste (?) mit Lk. n. r.
Rs. ЄTOVC Adler stehend n. r., Kopf mit Kranz im Schnabel n. l.
Im Feld r. A
Bi. 19,5 mm, 6,09 g ↗
Landert. BMC 2408. Milne 4503. Curtis 1835.

310 3027 Vs. AKKΛTAKITOCCЄB Gewandbüste mit Lk. n. r.
Rs. ЄTOVC Adler stehend n. l., Kopf mit Kranz im Schnabel n. r.
Im Feld r. A
Bi. 20,9 mm, 6,913 g ↖
Landert. BMC 2406. Milne 4504. Curtis 1837.

Probus

275/276 (1)

311 3030 Vs. AKMAVPΠPO BOCCЄB Panzerbüste mit Lk. n. r.
Rs. Dikaiosyne stehend n. l. Im Feld l. unten |A
Bi. 20,1 mm, 7,151 g ↖
Landert. BMC 2411. Milne 4512. Curtis –.

312 2556 Vs. AKMAVPΠPO BOCCЄB Panzerbüste (?) mit Lk. n. r.
Rs. Dikaiosyne stehend n. l. Im Feld l. unten ⌊B
Bi. 20,5 mm, 6,705 g ↖
BMC 2412. Milne 4522. Curtis 1846.

313 2557 Vs. AKMAVPΠPO BOCCЄB Panzerbüste mit Lk. n. r.
Rs. Dikaiosyne stehend n. l. Im Feld l. unten ⌊B
Bi. 20,7 mm, 7,875 g ↖
Wie 312, nicht stempelgleich.

314 2559 Vs. AKMAVPΠP OBOCCЄB Panzerbüste mit Lk. n. r.
Rs. Elpis stehend n. l. Im Feld l. B L
Bi. 21,0 mm, 8,20 g ↑
BMC 2417. Milne 4531. Curtis 1881.

315 2560 Vs. AKMAVPΠP OBOCCЄB Panzerbüste mit Lk. n. r.
Rs. Elpis stehend n. l. Im Feld l. B L
Bi. 21,4 mm, 6,39 g ↖
Wie 314, nicht stempelgleich.

316 3032 Vs. AKMAVPΠP OBOCCЄB Panzerbüste mit Lk. n. r.
Rs. Elpis stehend n. l. Im Feld l. ⌊B
Bi. 21,5 mm, 7,857 g ↑
Landert. BMC 2417 var. Milne 4531 (?). Curtis 1881.

317 3033 Vs. AKMAVPΠP OBOCCЄB Panzerbüste mit Lk. n. r.
Rs. Adler stehend n. r., Kopf mit Kranz im Schnabel n. l. Im Feld L B
Bi. 20,3 mm, 7,438 g ↑
Landert. BMC 2426. Milne 4541. Curtis 1852.

318 2565 Vs. AKMAVPΠPO BOCCЄB Panzerbüste (?) mit Lk. n. r.
Rs. Adler stehend n. l., Kopf mit Kranz im Schnabel n. r. Im Feld L B
Bi. 21,1 mm, 7,805 g ↗
BMC 2427 var. Milne 4546. Curtis 1850.

319 2566 Vs. AKMAVPΠPO BOCCЄB Panzerbüste mit Lk. n. r.
Rs. Adler wie 318. Im Feld L B
Bi. 20,7 mm, 6,54 g ↖
Wie 318, nicht stempelgleich.

320 3031 Vs. AKMAVPΠPO BOCCЄB Panzerbüste mit Lk. n. r.
Rs. Adler wie 318. Im Feld L B
Bi. 21,1 mm, 7,981 g ↖
Landert. BMC 2427 var. Milne 4547. Curtis 1849.

277/278 (3)

321 2562 Vs. AKMAVPΠPO BOCCЄB Panzerbüste mit Lk. n. r.
Rs. Tyche stehend n. l. Im Feld l. oben |Γ
Bi. 20,9 mm, 7,305 g ↖
BMC 2423. Milne 4558. Curtis 1893.

322 2561 Vs. AKMAVPΠP O BOCCЄB Panzerbüste mit Lk. n. r.
Rs. Tyche stehend n. l. Im Feld l. oben |Γ
Bi. 20,3 mm, 7,803 g ↖
BMC 2423 var. Milne 4560. Curtis 1890.

323 3034 Vs. AKMAVPΠP OBOCCЄB Panzerbüste mit Lk. n. r.
Rs. Adler mit Kranz und Palmzweig stehend n. r. Im Feld L Γ
Bi. 19,5 mm, 8,324 g ↖
Landert. BMC 2439. Milne 4564. Curtis 1854.

324 3035 Vs. [AK]MAVPΠPO BOCCЄB Panzerbüste mit Lk. n. r.
Rs. Adler stehend n. l. mit offenen Flügeln, Kopf mit Kranz im Schnabel n. r. Im Feld L Γ
Bi. 20,1 mm, 8,568 g ↖
Landert. BMC 2433. Milne 4568. Curtis 1867.

278/279 (4)

325 2563 Vs. AKMAVPΠP OBOCCЄB Panzerbüste (?) mit Lk. n. r.
Rs. Thronende Athena mit Nike n. r. Im Feld l. Δ L
Bi. 19,5 mm, 7,348 g ↑
BMC –. Milne 4572. Curtis –.

326 2558 Vs. AKMAVPΠP OBOCCЄB Panzerbüste mit Lk. n. r.
Rs. Eirene stehend n. l. Im Feld l. |Δ
Bi. 19,4 mm, 7,855 g ↖
M&M Liste 60, Nr. 229. BMC 2415. Milne 4575. Curtis 1878.

327 2564 Vs. AKMAVPΠP OBOCCЄB Panzerbüste mit Lk. n. r.
Rs. Tyche stehend n. l. Im Feld l. oben |Δ
Bi. 19,7 mm, 7,757 g ↖
BMC 2424. Milne 4584. Curtis 1893 (?).

328 2570 Vs. AKMAVPΠP OBOCCCЄB Panzerbüste (?) mit Lk. n. r.
Rs. Adler stehend n. r. mit Kranz und Palmzweig. Im Feld L ◁ (sic!)
Bi. 21,0 mm, 8,245 g ↖
BMC 2440. Milne 4587. Curtis 1855.

329 2569 Vs. AKMAVPΠPO B[OCCЄ]B Panzerbüste (?) mit Lk. n. r.
Rs. Adler mit offenen Flügeln stehend n. l., Kopf mit Kranz im Schnabel n. r. Im Feld L Λ
Bi. 20,4 mm, 8,436 g ↖
BMC 2434. Milne 4590. Curtis –.

330* 2740 Vs. AKMAVPΠPO BOCCЄB Panzerbüste mit Lk. n. r.
Rs. Adler wie 2569. Im Feld L Δ
Bi. 20,1 mm, 8,175 g ↖
Hess AG 1950. Wie 329, nicht stempelgleich.

331 3036 Vs. AKMAVPΠP OBOCCЄB Panzerbüste mit Lk. n. r.
Rs. Adler stehend n. l. mit offenen Flügeln, Kopf mit Kranz im Schnabel n. r. Im Feld L Δ
Bi. 20,0 mm, 8,181 g ↑
Landert. B[illegible] 2434. Milne 4592. Curtis –.

279/280 (5)

332 3038 Vs. AKMAVPΠP OBOCCЄB Panzerbüste mit Lk. n. r.
Rs. Nike fliegend n. r. mit Kranz und Palmzweig. Im Feld r. Є L
Rs. 22,1 mm, 8,118 g ↑
Landert. BMC 2421. Milne 4603. Curtis 1886.

333 2567 Vs. [AKMAVPΠ]P OBOCCЄB Panzerbüste mit Lk. n. r.
Rs. Adler stehend n. r., Kopf mit Kranz im Schnabel n. l. Im Feld L Є
Bi. 19,3 mm, 7,035 g ↖
Gefunden in Amsoldingen, vor 1923. BMC 2429. Milne 4606. Curtis –.

334 3037 Vs. AKMAVPΠ OBOCCЄB Panzerbüste mit Lk. n. r.
Rs. Adler wie 333. Im Feld L Є
Bi. 20,0 mm, 8,175 g ↖
Landert. BMC 2429. Milne 4608. Curtis 1859

280/281 (6)

335 3039 Vs. AKMAVPΠPO BOCCЄB Panzerbüste mit Lk. n. r.
Rs. Homonoia sitzend n. l. Im Feld l. S L
Bi. 18,3 mm, 7,770 g ↖
Landert. BMC 2419. Milne 4623. Curtis 1883.

336 2739 Vs. AKMAVPIIP OBOCCЄB Panzerbüste mit Lk. n. r.
Rs. Adler stehend n. l., Kopf mit Kranz im Schnabel n. r. Im Feld L S
Bi. 18,9 mm, 7,063 g ↑
Hess AG 1950. BMC 2430. Milne 1630. Curtis –, vgl. 1863.

337 2878 Vs. AKMAVPIIPOBOCCЄB Panzerbüste mit Lk. n. r.
Rs. Adler n. l., Kopf mit Kranz im Schnabel n. r. Im Feld L S
Bi. 19,5 mm, 7,91 g ↖
Aus Privatbesitz Bern. BMC 2430. Milne 4628. Curtis 1863.

338 3040 Vs. AKMAVPIIP OBOCCЄB Panzerbüste mit Lk. n. r.
Rs. Adler stehend n. r. mit Kranz und offenen Flügeln. Im Feld L S
Bi. 20,2 mm, 8,488 g ↑
Landert. BMC 2435. Milne 4632. Curtis 1872.

281/282 (7)

339 3041 Vs. AKMAVPIIPO BOCCЄB Panzerbüste mit Lk. n. r.
Rs. Adler stehend n. l., Kopf mit Kranz n. r. Im Feld L Z
Bi. 19,3 mm, 8,680 g ↖
Landert. BMC 2431. Milne 4640. Curtis 1864.

340 2568 Vs. AKMAVPIIPO BOCCЄB Panzerbüste mit Lk. n. r.
Rs. Adler wie 339. Im Feld L Z
Bi. 19,1 mm, 7,208 g ↖
Wie 339, nicht stempelgleich.

Carus

282/283 (1)

341 2573 Vs. AKMAKA POCCЄB Paludamentbüste (?) mit Lk. n. r.
Rs. Dikaiosyne stehend n. l. Im Feld l. oben A
Bi. 19,3 mm, 6,185 g ↑
BMC 2441. Milne 4660. Curtis 1901.

342 3042 Vs. AKMA KA POCCЄB Gewandbüste mit Lk. n. r.
Rs. Dikaiosyne stehend n. l. Im Feld r. oben A
Bi. 19,2 mm, 7,744g ↖
Landert. BMC 2241 var. Milne 4663. Curtis 1897.

343 3043 Vs. AKMAKA POCCЄB Gewandbüste mit Lk. n. r.
Rs. Adler stehend n. r. mit Kranz und Palmzweig. Im Feld L A
Bi. 20,5 mm, 6,688 g ↖
Landert. BMC 2442. Milne 4670. Curtis 1903.

344 3044 Vs. AKMA KA POCCЄB Gewandbüste mit Lk. n. r.
Rs. Adler mit offenen Flügeln stehend n. l. zwischen zwei Vexilla, Kopf mit Kranz im Schnabel n. r. Über dem Adler LA
Bi. 20,4 mm, 6,524 g ↖
Landert. BMC 2444. Milne 4675. Curtis 1907.

345* 2844 Vs. ΘЄ ω KAPωCЄB Büste mit Lk. n. r.
Rs. AΦIЄP* ωCIC Altar mit Flammen und zwei Lorbeerzweigen.
Bi. 20,0 mm, 7,149 g ↑
M&M 1962. Jb. 61/62. BMC 2446. Milne 4733. Curtis 1895/1896.

Carinus

282/283 (1)

346 3045 Vs. AKMAKA PINOCK Panzerbüste mit Lk. n. r.
Rs. Tyche stehend n. l. Im Feld oben $\underline{|A}$
Bi. 18,2 mm, 6,806 g ↖
Landert. BMC 2448. Milne 4667. Curtis 1929.

347 3046 Vs. AKMAKA PINOCK Panzerbüste mit Lk. n. r.
Rs. Adler stehend n. l. zwischen zwei Vexilla, Flügel geöffnet, Kopf mit Kranz im Schnabel n. r. Über dem Adler LA
Bi. 19,1 mm, 8,920 g ↑
Landert. BMC 2449. Milne 4679. Curtis 1913.

348 3047 Vs. AKMAKA PINOCCЄB Panzerbüste mit Lk. n. r.
Rs. Tyche stehend n. l. Im Feld r. *, l. oben $\underline{|A}$
Bi. 19,8 mm, 7,354 g ↑
Landert. BMC 2458. Milne 4688. Curtis 1932.

283/284 (2)

349 3050 Vs. AKMAKA PINOCCЄB Panzerbüste mit Lk. n. r.
Rs. Elpis stehend n. l. Im Feld L B
Bi. 20,3 mm, 5,708 g ↑
Landert. BMC 2454. Milne 4702. Curtis 1918.

350 2574 Vs. AKMAKA PINOCCЄB Panzerbüste mit Lk. n. r.
Rs. Elpis stehend n. l. Im Feld L B
Bi. 19,5 mm, 7,40 g ↖
Wie 349, nicht stempelgleich.

351* 3049 Vs. AKMAKA PINOCCЄB Panzerbüste mit Lk. n. r.
Rs. Adler stehend n. l., Kopf mit Kranz im Schnabel n. r., Vexillum. Über dem Adler L^B
Bi. 18,5 mm, 6,593 g ↖
Landert. BMC –. Milne 4710. Curtis –.

352 3048 Vs. AKMAKA PINOCCЄB Panzerbüste mit Lk. n. r.
Rs. Nike fliegend n. r. mit Palmzweig und Kranz. Im Feld r. * L B
Bi. 18,6 mm, 6,548 g ↖
Landert. BMC 2456. Milne 4723. Curtis 1925.

284/285 (3)

353 3052 Vs. AKMAKA PINOCCЄB Büste mit Lk. n. r.
Rs. ЄTOVC Homonoia stehend n. l. Im Feld r. Γ
Bi. 19,2 mm, 7,859 g ↑
Landert. BMC 2455. Milne 4737. Curtis 1922.

354 3053 Vs. AKMAKA PINOCCЄB Panzerbüste mit Lk. n. r.
Rs. ЄTOVC Nike fliegend n. r. mit Palmzweig und Kranz.
Im Feld r. Γ
Bi. 19,5 mm, 7,638 g ↖
Landert. BMC 2457. Milne 4738. Curtis 1926.

355 3051 Vs. AKMAKA PINOCCЄB Panzerbüste mit Lk. n. r.
Rs. ΛЄΓBTPAI Adler stehend n. l., Kopf mit Kranz im Schnabel n. r.
Im Feld r. |Γ
Bi. 20,0 mm, 8,031 g ↖
Landert. BMC 2459. Milne 4743. Curtis 1910.

Numerianus

282/283 (1)

356* 2575 Vs. AKMANOVM ЄPIANOCKC Gewandbüste mit Lk. n. r.
Rs. Dikaiosyne stehend n. l. Im Feld r. * l. oben |A
Bi. 18,2 mm, 6,923 g ↖
BMC 2462. Milne 4624. Curtis 1940.

357 3054 Vs. AKMANOVM ЄRIANOCKC Gewandbüste mit Lk. n. r.
Rs. Adler stehend n. l. zwischen zwei Vexilla, Flügel geöffnet, Kopf mit Kranz im Schnabel n. r., über dem Adler L * A
Bi. 19,3 mm, 7,355 g ↖
Landert. BMC –, vgl. 2463. Milne 4694. Curtis –.

283/284 (2)

358 3055 Vs. AKMANOVM ЄPIANOCCЄB Gewandbüste mit Lk. n. r.
Rs. Athena sitzend n. l., mit Nike, Zepter und Schild. Im Feld L B
Bi. 21,9 mm, 10,181 g ↖
Landert. BMC 2464. Milne 4699. Curtis 1934.

359 3056 Vs. AKMANOVM ЄPIANOCCЄB Gewandbüste mit Lk. n. r.
Rs. Nike fliegend n. r. mit Palmzweig und Kranz, r. *. Im Feld L B
Bi. 10,1 mm, 7,991 g ↖
Landert. BMC 2468. Milne 4724. Curtis –.

284/285 (3)

360 3057 Vs. AKMANOVM ЄPIANOCCЄB Gewandbüste mit Lk. n. r.
Rs. ΛЄΓBTPAI Adler stehend n. l., Kopf mit Kranz im Schnabel n. r. Γ
Bi. 22,5 mm, 9,371 g ↖
Landert. BMC 2471. Milne 4747. Curtis –.

Diocletianus

284/285 (1)

361 3058 Vs. AKΓOVAΛΔIOKΛHTI[ANOCCЄB] Panzerbüste mit Lk. n. r.
Rs. Elpis stehend n. l. Im Feld l. A
Bi. 19,2 mm, 6,692 g ↖
Landert. BMC 2499. Milne 4750. Curtis 1980.

362 2581 Vs. AKΓOVAΛΔIOKΛHTIANOCCЄB Panzerbüste mit Lk. n. r.
Rs. Elpis stehend n. l. Im Feld l. A
Bi. 21,3 mm, 7,787 g ↖
Wie 361, nicht stempelgleich.

363 2582 Vs. AKΓOVAΛΔIOKΛHTIANOCCЄB Panzerbüste mit Lk. n. r.
Rs. Elpis stehend n. l. Im Feld l. A
Bi. 18,9 mm, 7,703 g ↑
Wie 361 f, nicht stempelgleich.

364 2587 Vs. [AKΓ]OV[A]ΛΔIOKΛHTIANOCCЄB Panzerbüste mit Lk. n. r.
Rs. Tyche stehend n. l. Im Feld r. A
Bi. 20,9 mm, 7,129 g ↖
BMC –. Milne 4755. Curtis –.

365 2588 Vs. [A]KΓOVAΛΔIOKΛHTIANOCCЄB Panzerbüste (?) mit Lk. n. r.
Rs. Tyche gelagert n. l. Im Feld l. oben A
Bi. 20,9 mm, 8,304 g ↑
BMC 2527. Milne 4576. Curtis 2024.

285/286 (2)

366 2576 Vs. ẠḲḲOVAΛΛIOKΛHTIANOCCЄB Panzerbüste (?) mit Lk. n. r.
Zeus stehend n. l., vor seinen Füßen Adler n. l., Kopf n. r. Im Feld r. |B
Bi. 20,9 mm, 8,935 g ↖
BMC 2474. Milne 4762. Curtis 2043.

367 2579 Vs. ẠḲḲOVAΛΛIOKΛHTIANOCCЄB Panzerbüste mit Lk. n. r.
Rs. Athena mit Nike sitzend n. l. Im Feld L B
Bi. 21,4 mm, 7,075 g ↑
BMC 2485. Milne 4765. Curtis 1959.

368 2580 Vs. AKΓOVAΛΛIOKΛHTIANOCCЄB Panzerbüste (?) mit Lk. n. r.
Rs. Dikaiosyne stehend n. l. Im Feld L B
Bi. 19,1 mm, 7,467 g ↑
BMC 2488. Milne 4768. Curtis 1967.

369 3059 Vs. AKΓOVAΛΛIOKΛHTIANOCCЄB Panzerbüste mit Lk. n. r.
Rs. Dikaiosyne stehend n. l. Im Feld L B
Bi. 21,1 mm, 8,024 g
Landert. Wie 368, nicht stempelgleich.

370 3063 Vs. AKΓOVAΛΛIOKΛHTIANOCCЄB Panzerbüste mit Lk. n. r.
Rs. Eirene stehend n. l. Im Feld L B
Bi. 19,9 mm, 6,663 g ↖
Landert. BMC 2493. Milne 4774. Curtis 1976.

371 2589 Vs. AKΓOVAΛΛIOKΛHTIANOCCЄB Panzerbüste (?) mit Lk. n. r.
Rs. Alexandria mit Sarapisbüste stehend n. l. Im Feld L B
Bi. 22,7 mm, 6,579 g ↖
BMC 2529. Milne 4782. Curtis 1954.

372 3062 Vs. AKΓOVAΛIOKΛHTIANOCCЄB Büste mit Lk. n. r.
Rs. Eirene stehend n. l. Im Feld L *B
Bi. 21,4 mm, 7,391 g ↖
Landert. BMC 2494. Milne 4792. Curtis –.

373 3060 Vs. AKΓOVAΛIOKΛHTIANOCCЄB Panzerbüste (?) mit Lk. n. r.
Rs. Homonoia stehend n. l. Im Feld *L B
Bi. 18,9 mm, 6,591 g ↖
Landert. BMC 2512. Milne 4797. Curtis 2004.

374 3061 Vs. AKΓOVAΛIOKΛHTIANOCCЄB Panzerbüste mit Lk. n. r.
Rs. Homonoia stehend n. l. im Feld *L B
Bi. 20,6 mm, 8,722 g ↑
Landert. Wie 373, nicht stempelgleich.

286/287 (3)

375 2799 Vs. AKΓOVAΔIOKΛHTIANOCCЄB Panzerbüste (?) mit Lk. n. r.
Rs. Tyche stehend n. l. Im Feld r. L Γ
Bi. 18,9 mm, 7,17 g ↖
Kricheldorf, Liste 47, Nr. 174. Jb. 59/60. BMC 2524. Milne 4821. Curtis 2025.

376 2741 Vs. AKΓOVAΔIOKΛHTIANOCCЄB Panzerbüste (?) mit Lk. n. r.
Rs. Tyche stehend n. l. Im Feld r. L Γ
Bi. 20,7 mm, 7,047 g ↑
Hess AG 1950. Wie 375, nicht stempelgleich.

377 3064 Vs. AKΓOVAΔIOKΛHTIANOCCЄB Panzerbüste mit Lk. n. r.
Rs. Tyche stehend n. l. Im Feld r. L Γ
Bi. 20,3 mm, 6,376 g ↖
Landert. Wie 375 f, nicht stempelgleich.

378 3065 Vs. AKΓOVAΔIOKΛHTIANOCCЄB Gewandbüste mit Lk. n. r.
Rs. ЄTOVC Tyche stehend n. l. Im Feld r. * Γ
Bi. 20,1 mm, 7,152 g ↖
Landert. BMC 2525. Milne 4822. Curtis 2033.

379 3066 Vs. AKΓOVAΔIOKΛHTIANOCCЄB Panzerbüste mit Lk. n. r.
Rs. ЄTOVC Adler stehend n. l., Kopf mit Kranz n. r.
Im Feld oben l. *, r. Γ
Bi. 19,9 mm, 9,421 g ↖
Landert. BMC 2533. Milne 4846. Curtis 1969.

287/288 (4)

380 3068 Vs. AKΓOVAΔIOK[ΛHTIANOCCЄB] Panzerbüste (?) mit Lk. n. r.
Rs. Athena stehend n. l. mit Nike und Schild. L. unten im Feld L Δ
Bi. 19,5 mm, 7,341 g ↗
Landert. BMC 2484. Milne 4852. Curtis 1963.

381 2578 Vs. AKΓOVAΔIOKΛHTIANOCCЄB Gewandbüste mit Lk. n. r.
Rs. Athena mit Nike stehend n. l. Im Feld L Δ
Bi. 20,3 mm, 6,44 g ↑
BMC 2483. Milne 4853. Curtis –.

382 2586 Vs. AKΓOVAΔIOKΛHTIANOCCЄB Panzerbüste (?) mit Lk. n. r.
Rs. Nike mit Kranz (und Palmzweig?) schreitend n. r. Im Feld r. *, L Δ
Bi. 20,1 mm, 8,24 g ↖
BMC 2517. Milne 4878. Curtis 2011.

383 3067 Vs. AKΓOVAΔ[IOKΛHT]IANOCCЄB Gewandbüste mit Lk. n. r.
Rs. Adler stehend n. l., Kopf mit Kranz n. r. Im Feld l. oben *, L Δ
Bi. 18,8 mm, 8,341 g ↖
Landert. BMC –. Milne 4886. Curtis –.

288/289 (5)

384 2584 Vs. AKΓ[OVAΔIO]KΛH[TI]ANOCCЄB Panzerbüste (?) mit Lk. n. r.
Rs. Eusebia stehend n. l., Altar. Im Feld L Є
Bi. 17,8 mm, 8,275 g ↖
BMC 2510. Milne 4898. Curtis 1995.

385 2585 Vs. AKΓOVAΔIOKΛHTIANOCCЄB Gewandbüste (?) mit Lk. n. r.
Rs. Eusebia stehend n. l., Altar. Im Feld L Є
Bi. 18,9 mm, 7,052 g ↑
Gefunden in Amsoldingen, vor 1923. Wie 384, nicht stempelgleich.

290/291 (7)

386 2577 Vs. ΔIOKΛHTI ANOCCЄB Panzerbüste mit Lk. n. r.
Rs. Zeus stehend n. l., vor seinen Füßen Adler n. l., Kopf n. r.
Im Feld L Z
Bi. 20,3 mm, 9,299 g ↖
BMC 2475. Milne 4946. Curtis 2045.

291/292 (8)

387 3069 Vs. ΔIOKΛHTIANOCCЄB Panzerbüste mit Lk. n. r.
Rs. Nike stehend frontal mit Kranz und Palmzweig, Flügel offen.
Im Feld L H, im Abschnitt Λ
Bi. 19,6 mm, 6,846 g ↑
Landert. BMC –. Milne –, vgl. 4899. Curtis vgl. X – 2015.

292/293 (9)

388* 2800 Vs. ΔIOKΛHTIANOCCЄB Panzerbüste mit Lk. n. r.
Rs. ЄNATOV Sarapis stehend n. l., r. Hand erhoben. Im Feld r. L
Bi. 19,4 mm, 7,10 g ↑
Kricheldorf, Liste 47, Nr. 171. Jb. 59/60. BMC –. Milne –. Curtis 2020.

293/294 (10)

389* 2583 Vs. ΔIOKΛHTIANOCCЄB Panzerbüste mit Lk. n. r.
Rs. Elpis stehend n. l. Im Feld L I, im Abschnitt Δ (?)
Bi. 19,6 mm, 6,26 g ↖
BMC –, vgl. 2505. Milne –, vgl. 5132. Curtis –.

294/295 (11)

390 3070 Vs. ΔΙΟΚΛΗΤΙΑΝΟϹϹЄΒ Panzerbüste mit Lk. n. r.
Rs. Elpis stehend n. l. Im Feld L IA
Bi. 19,3 mm, 7,005 g ↖
Landert. BMC 2507. Milne 5158. Curtis –.

Maximianus Herculius

285/286 (1)

391 2590 Vs. AKMAOVAMAIIMIANOCCЄB Gewandbüste mit Lk. n. r.
Rs. Eirene stehend n. l. Im Feld L A
Bi. 20,7 mm, 6,91 g ↑
BMC 2553. Milne 4778. Curtis 2064.

392 3073 Vs. AKMAOVAMAIIMIANOCCЄB Gewandbüste mit Lk. n. r.
Rs. Eirene stehend n. r. Im Feld L A
Bi. 21,8 mm, 7,788 g ↗
Landert. Wie 391, nicht stempelgleich.

393 3075 Vs. AKMAOVAMAIIMIANOCCЄB Gewandbüste mit Lk. n. r.
Rs. Alexandria stehend n. l. mit Sarapisbüste. Im Feld L A
Bi. 21,9 mm, 7,714 g ↖
Landert. Vgl.: BMC 2591, Milne 4785. Curtis 2050 (L A).

394 3074 Vs. AKMOVAMAIIMIANOCCЄB Gewandbüste mit Lk. n. r.
Rs. Eirene stehend n. l. Im Feld L A, r. oben *.
Bi. 20,1 mm, 7,600 g ↖
Landert. BMC 2553. Milne 4795. Curtis –.

395 3071 Vs. AKMOVAMAIIMIANOCCЄB Gewandbüste mit Lk. n. r.
Rs. Homonoia stehend n. l. Im Feld L A, l. *
Bi. 21,4 mm, 8,257 g ↖
Landert. BMC 2560. Milne 4802. Curtis –.

396 3072 Vs. AKMOVAMAIIMIANOCCЄB Gewandbüste mit Lk. n. r.
Lk. n. r.
Rs. Homonoia stehend n. l. Im Feld L A
Bi. 19,2 mm, 7,985 g ↖
Landert. BMC 2560. Milne vgl. 4802. Curtis –.

286/287 (2)

397 3076 Vs. AKMAOVAMAIIMIANOCCЄB Gewandbüste mit Lk. n. r.
Rs. Elpis stehend n. l. Im Feld L B
Bi. 19,7 mm, 8,587 g ↑
Landert. BMC 2555. Milne 4814. Curtis 2067.

287/288 (3)

398 3077 Vs. [AKM]AOVAMAIIMIANOCCЄB Gewandbüste mit Lk. n. r.
Rs. Homonoia stehend n. l. Im Feld L Γ
Bi. 19,1 mm, 7,331 g ↗
Landert. BMC 2563. Milne 4855. Curtis 2091.

399 2591 Vs. AKMAOVAMAIIMIANOCCЄB Gewandbüste mit Lk. n. r.
Rs. Homonoia stehend n. l. Im Feld L Γ
Bi. 17,7 mm, 7,219 g ↖
Wie 398, nicht stempelgleich.

400 3078 Vs. AKMAOVAMAIIMIANOCCЄB Gewandbüste mit Lk. n. r.
Rs. Homonoia stehend n. l. Im Feld r. oben *, L Γ
Bi. 21,7 mm. 7,582 g ↑
Landert. BMC 2561. Milne 4873. Curtis –.

401 2595 Vs. AKMOVAMAIIMIANOCCЄB Gewandbüste mit Lk. n. r.
Rs. Eusebia stehend n. l., Altar. Im Feld L Γ
Bi. 19,4 mm, 6,692 g ↑
BMC –. Milne 4869. Curtis 2077.

402 2594 Vs. AKMOVAMAIIMIANOCCЄB Gewandbüste mit Lk. n. r.
Rs. Nike schreitend n. r. mit Palmzweig und Kranz.
Im Feld r. oben *, L Γ
Bi. 19,6 mm, 7,18 g ↖
BMC 2574. Milne 4882. Curtis 2097.

288/289

403 2597 Vs. AKMAOVAMAIIMI[ANOCCЄB] Gewandbüste (?) mit Lk. n. r.
Rs. Adler stehend n. l., Kopf mit Kranz im Schnabel n. r.
Im Feld l. oben *, L Δ
Bi. 18,1 mm, 8,81 g ↖
Gefunden im Gartenkies des Hotels zum Sternen *in Worb,* vor 1919. BMC 2596. Milne 4921. Curtis 2060.

404 2598 Vs. AKMA[OVAM]AIIMIANOCCЄB Gewandbüste mit Lk. n. r.
Rs. Adler wie 2597. Im Feld l. oben *, L Δ
Bi. 19,7 mm, 8,33 g ↑
Wie 403, nicht stempelgleich.

291/292 (7)

405 2596 Vs. MAIIMIANOCCЄB Gewandbüste mit Lk. n. r.
Rs. Nike schreitend n. r. mit Palmzweig und Kranz. Im Feld r. *, L Z
Bi. 21,1 mm, 6,42 g ↑
BMC 2580. Milne 5031. Curtis 2101.

406 3079 Vs. MAIIMI ANOCCЄB Gewandbüste mit Lk. n. r.
Rs. Nike fliegend n. l. mit Kranz und Palmzweig. Im Feld l. Z/L, r. *
Bi. 19,1 mm, 7,504 g ↖
Landert. BMC 2579. Milne 5034. Curtis 2100.

407 2592 Vs. MAIIMIANOCCЄB Gewandbüste mit Lk. n. r.
Rs. Homonoia stehend n. l. Im Abschnitt B (?), im Feld L H
Bi. 20,2 mm, 6,482 g ↖
BMC 2566. Milne 5072. Curtis –.

293/294 (9)

408 3080 Vs. MAIIMIANOCCЄB Gewandbüste mit Lk. n. r.
Rs. ЄNATOV Eirene stehend n. l. Im Feld r. L
Bi. 18,2 mm, 6,170 g ↖
Landert. BMC 2554. Milne 5098. Curtis –.

295/296 (11)

409* 2845 Vs. MAZIMI ANOCCЄB Büste mit Lk. n. r.
Rs. Elpis stehend n. l. Im Feld L/I A
Bi. 21,7 mm, 7,05 g ↑
Kricheldorf, Liste 65, Nr. 555. Jb. 61/62. BMC –. Milne 5205 var. Dattari 5888. Curtis –.

Constantius Chlorus Caesar

292/293

410 2599 Vs. ΦΛAKωNCTANTIOCK Paludamentbüste (?) mit Lk. n. r.
Rs. Elpis stehend n. l. Im Abschnitt Λ, im Feld L A
Bi. 19,3 mm, 7,695 g ↖
BMC 2603 var. Milne 5089. Curtis –.

295/296 (4)

411 3081 Vs. KωNCTA NTIOC K Gewandbüste mit Lk. n. r.
Rs. Dikaiosyne stehend n. l. Im Feld r. *, L Δ
Bi. 19,9 mm, 7,487 g ↑
Landert. BMC 2602. Milne vgl. 5202. Curtis –.

412* 3082 Vs. KWNCTAN TIOCK Gewandbüste mit Lk. n. r.
Rs. Adler stehend n. r. mit Palmzweig. Im Feld L Δ
Bi. 19,8 mm, 6,645 g ↖
Landert. BMC –. Milne 5236. Curtis –.

413 2600 Vs. ΦΛΑKWNCTANTIOCK Paludamentbüste (?) mit Lk. n. r.
Rs. Adler mit offenen Flügeln stehend zwischen zwei Vexilla, Kopf n. r.
Oben L Δ
Bi. 19,7 mm, 6,725 g ↖
BMC –. Milne –. Dattari 6106. Curtis –.

Galerius Caesar

294/295 (3)

414 2601 Vs. ΓΑΛΜΑΧIMIANOCK Paludamentbüste mit Lk. n. r.
Rs. Nike mit Kranz und Palmzweig schreitend n. r. Im Feld r. L Γ
Bi. 20,1 mm, 6,065 g ↖
BMC 2617. Milne 5185. Curtis 2130.

295/296 (4)

415* 3083 Vs. MAXIMI ANOCK Gewandbüste mit Lk. n. r.
Rs. Elpis stehend n. l. Im Feld Δ ⊥ (sic!)
Bi. 19,4 mm, 7,080 g ↑
Landert. BMC –. Milne –. Curtis –. Unediert?

416 3084 Vs. ΓΑΛΜΑXI MIAN[O]CK Gewandbüste mit Lk. n. r.
Rs. Nike fliegend n. r. mit Palmzweig und Kranz. Im Feld L Δ
Bi. 20,1 mm, 6,393 g ↖
Landert. BMC –. Milne 5224. Curtis 2131.

TAFEL I

4

5

8

18

25

27

28

31

36

43

46

51

58

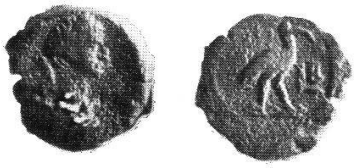

59

62

64

73

72

80

70

76

82

86

83

89

TAFEL III

92 93 96

97 104 113

114 115

TAFEL IV

119

121 126

128

130

131 133 135

136

139

142 147 148

TAFEL V

TAFEL VI

186 187 188 191 192

193 197 200 201

212 214 225 233 242

244 245

TAFEL VII

246 247 257 267 291

292 303 304 307 330

345 351 356 388 389

409 412 415